



OLT Offshore LNG Toscana S.p.A.

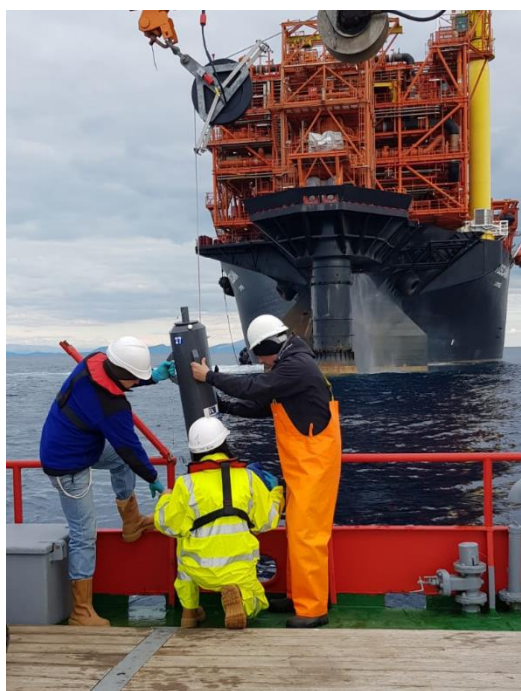


TERMINALE GALLEGGIANTE DI RIGASSIFICAZIONE

FSRU - TOSCANA

Allegato 10

Spettri in terzi d'ottava del rumore ambientale per tutti i punti e tutte le quote campionate (A19, I20, P20, E20)



Risultati PSD in terze d'ottava Campagna – A19

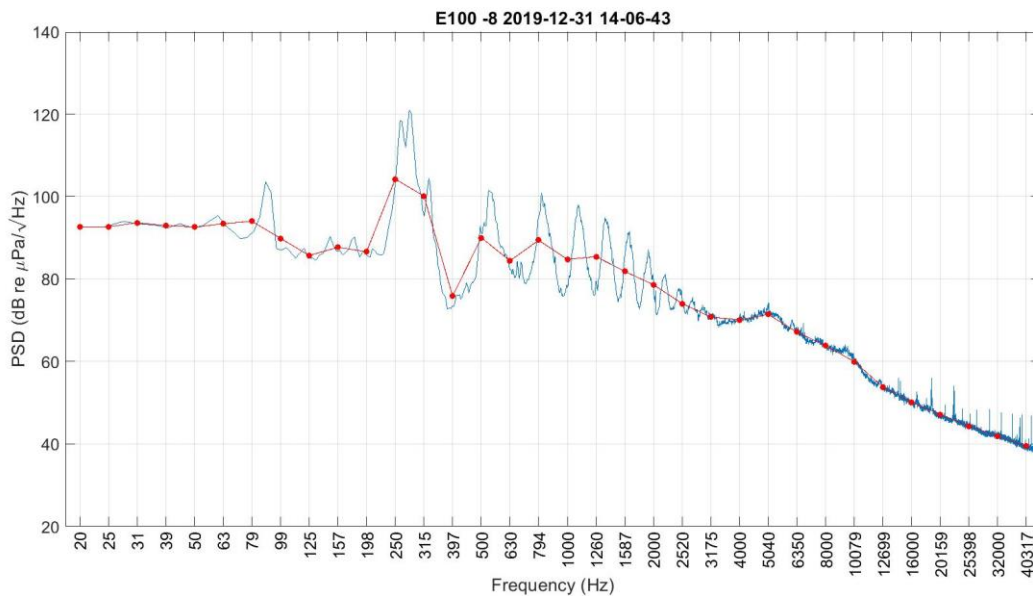


Figura 1. Spettro in terze d'ottava del rumore ambientale misurato presso la stazione E100 a 8 m di profondità, campagna A19.

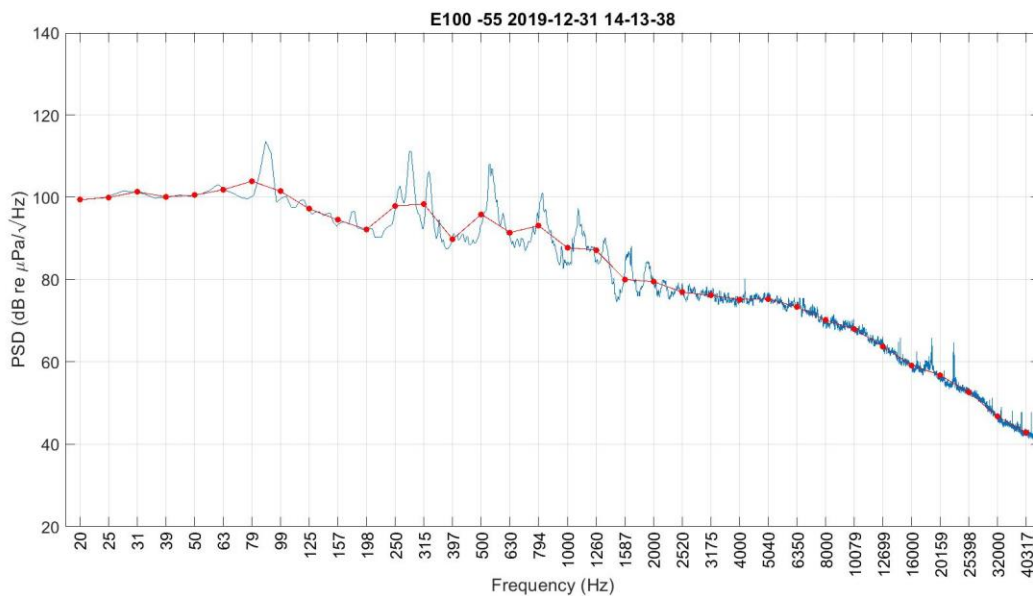


Figura 2. Spettro in terze d'ottava del rumore ambientale misurato presso la stazione E100 a 55 m di profondità, campagna A19.

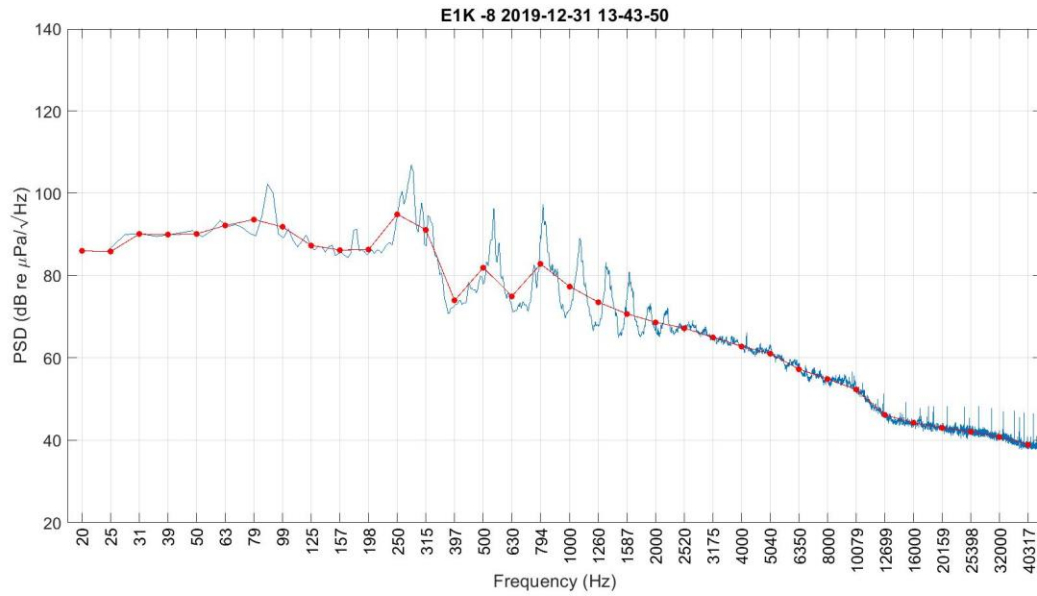


Figura 3. Spettro in terze d'ottava del rumore ambientale misurato presso la stazione E1k a 8 m di profondità, campagna A19.

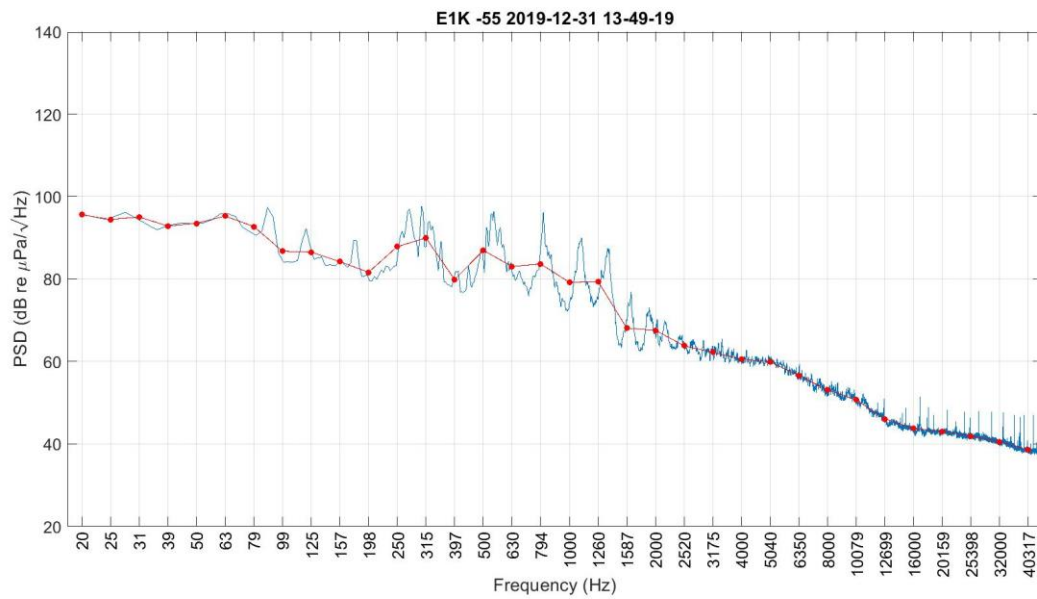


Figura 4. Spettro in terze d'ottava del rumore ambientale misurato presso la stazione E1k a 55 m di profondità, campagna A19.

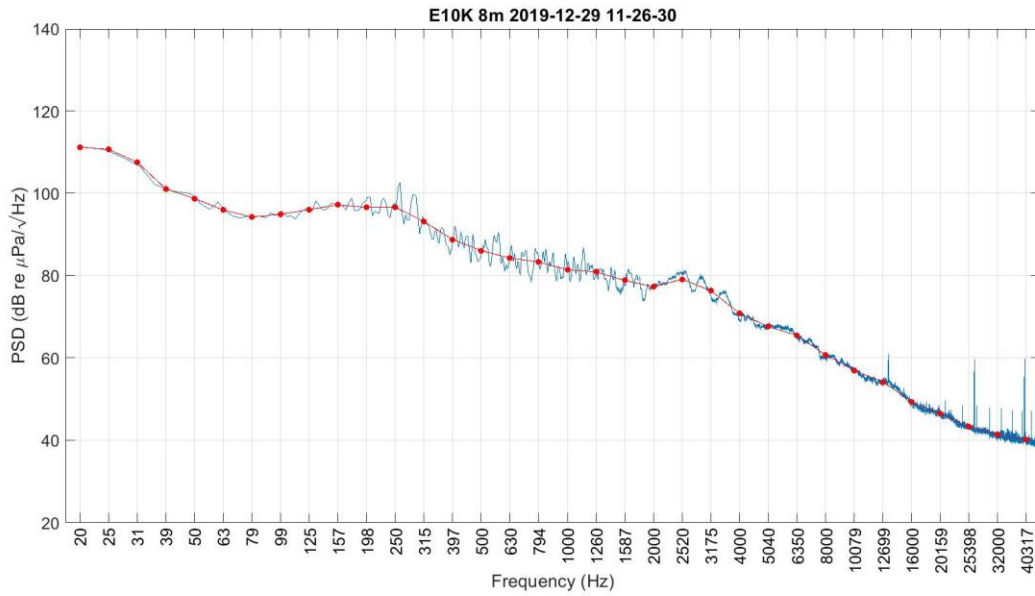


Figura 5. Spettro in terze d'ottava del rumore ambientale misurato presso la stazione E10k a 8 m di profondità, campagna A19.

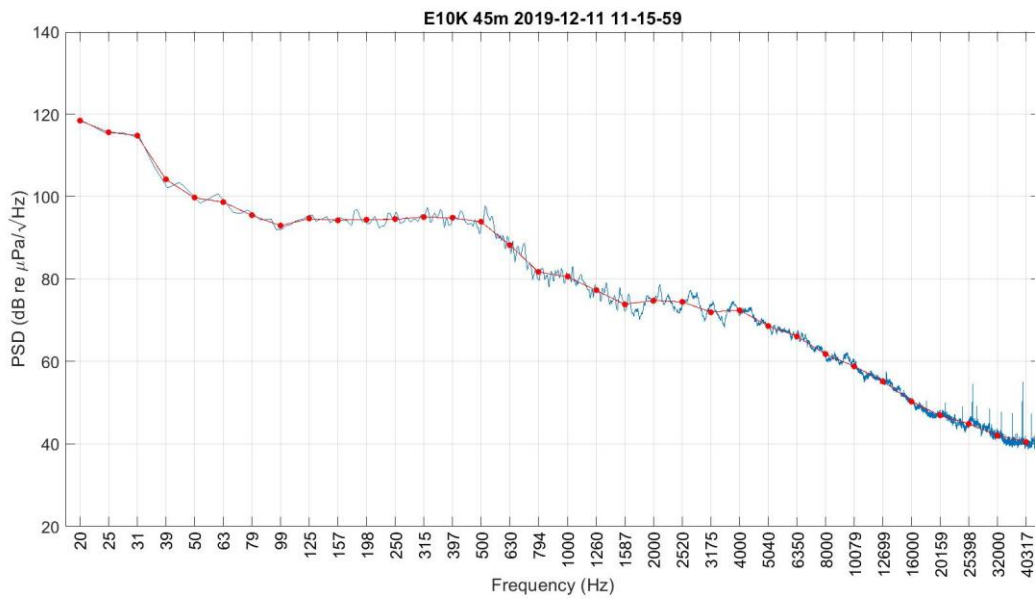


Figura 6. Spettro in terze d'ottava del rumore ambientale misurato presso la stazione E10k a 45 m di profondità, campagna A19.

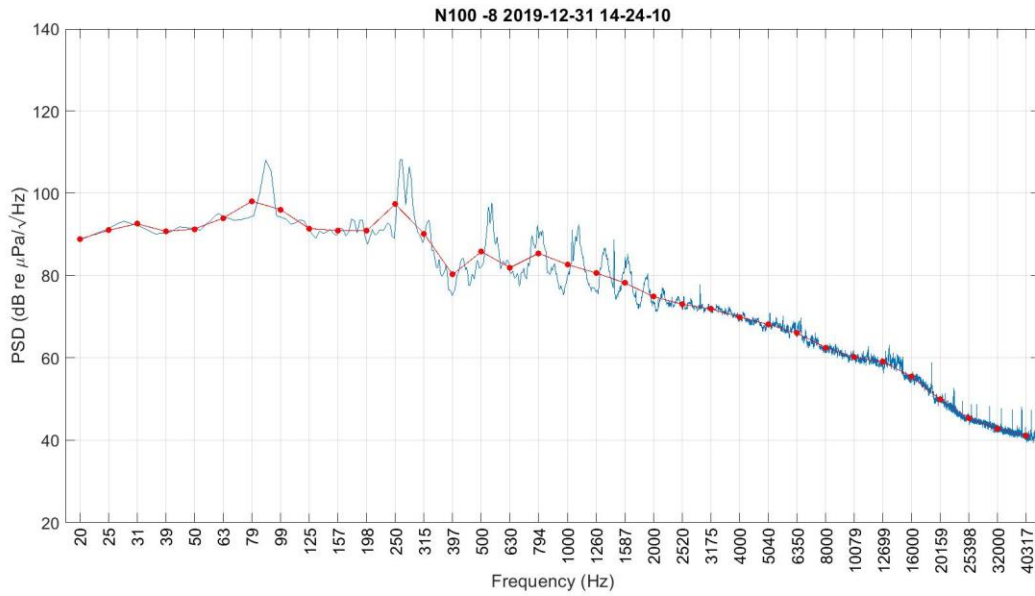


Figura 7. Spettro in terze d'ottava del rumore ambientale misurato presso la stazione N100 a 8 m di profondità, campagna A19.

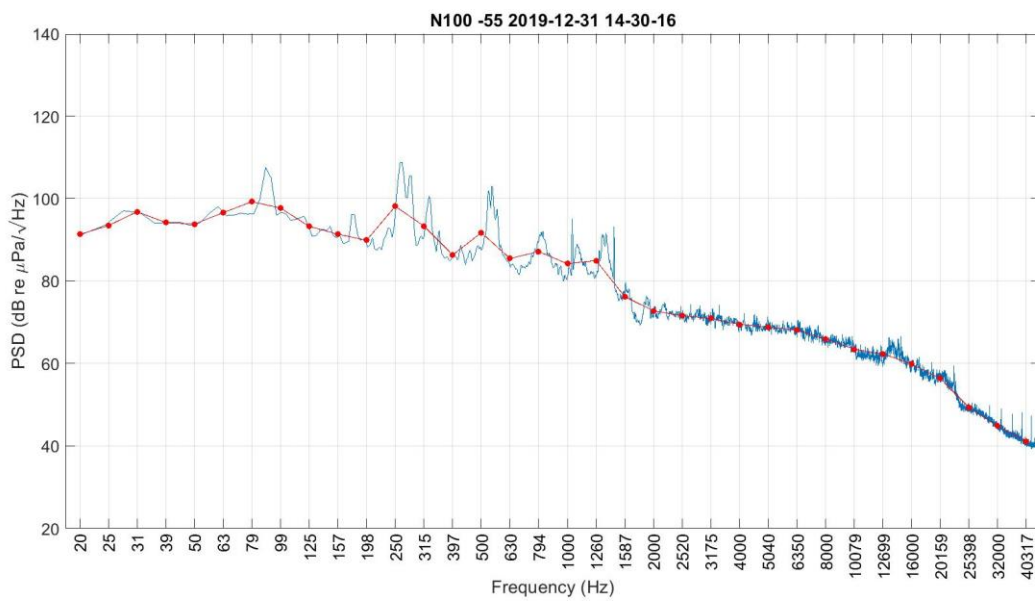


Figura 8. Spettro in terze d'ottava del rumore ambientale misurato presso la stazione N100 a 55 m di profondità, campagna A19.

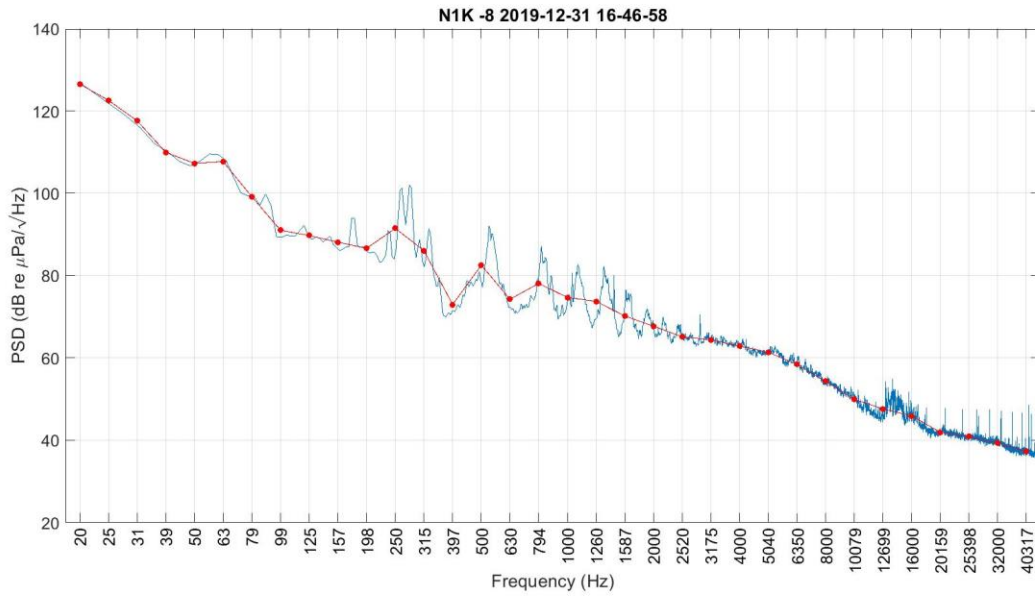


Figura 9. Spettro in terze d'ottava del rumore ambientale misurato presso la stazione N1k a 8 m di profondità, campagna A19.

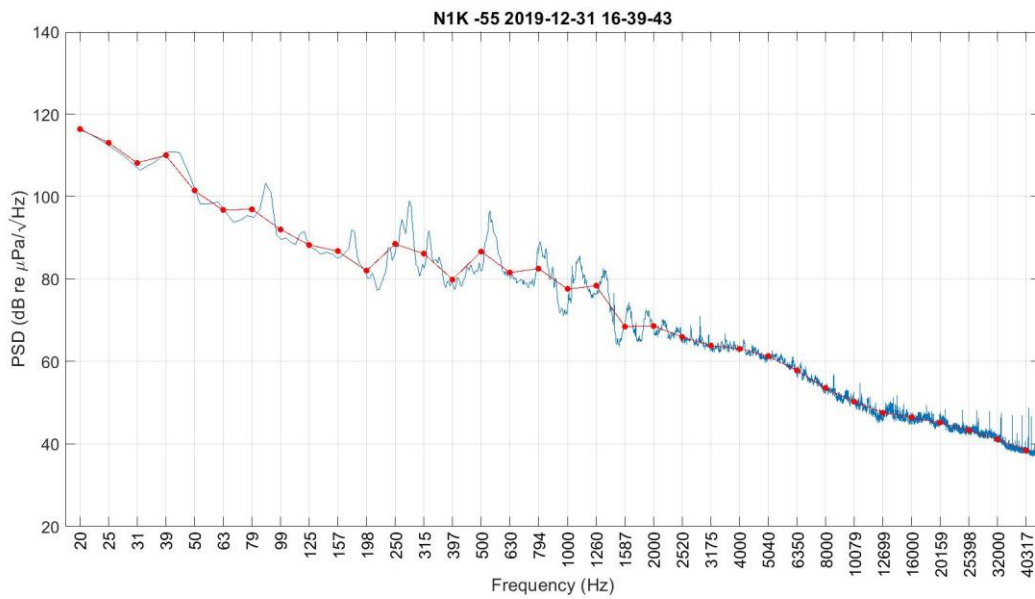


Figura 10. Spettro in terze d'ottava del rumore ambientale misurato presso la stazione N1k a 55 m di profondità, campagna A19.

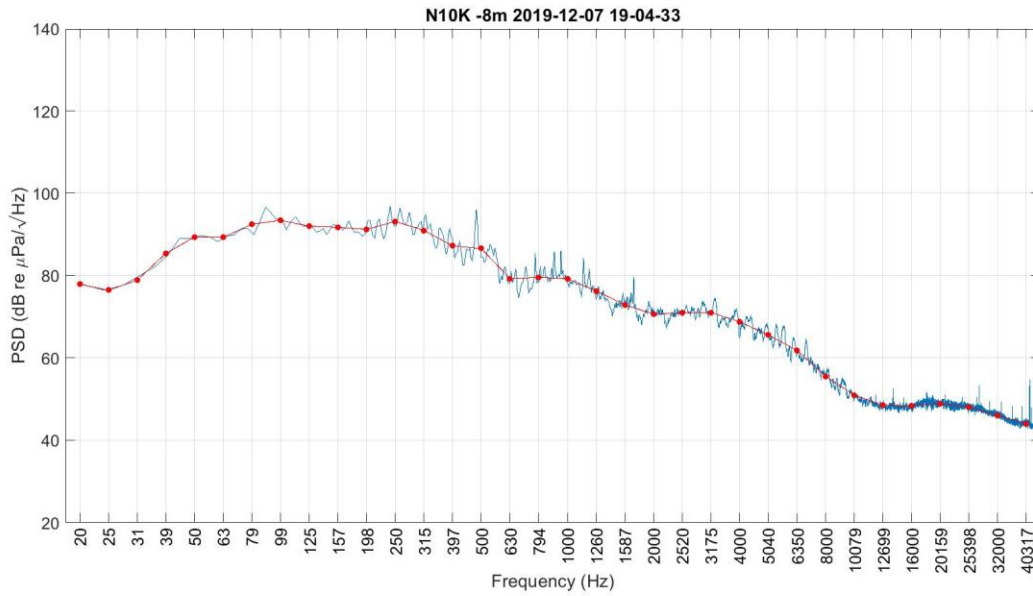


Figura 11. Spettro in terze d'ottava del rumore ambientale misurato presso la stazione N10k a 8 m di profondità, campagna A19.

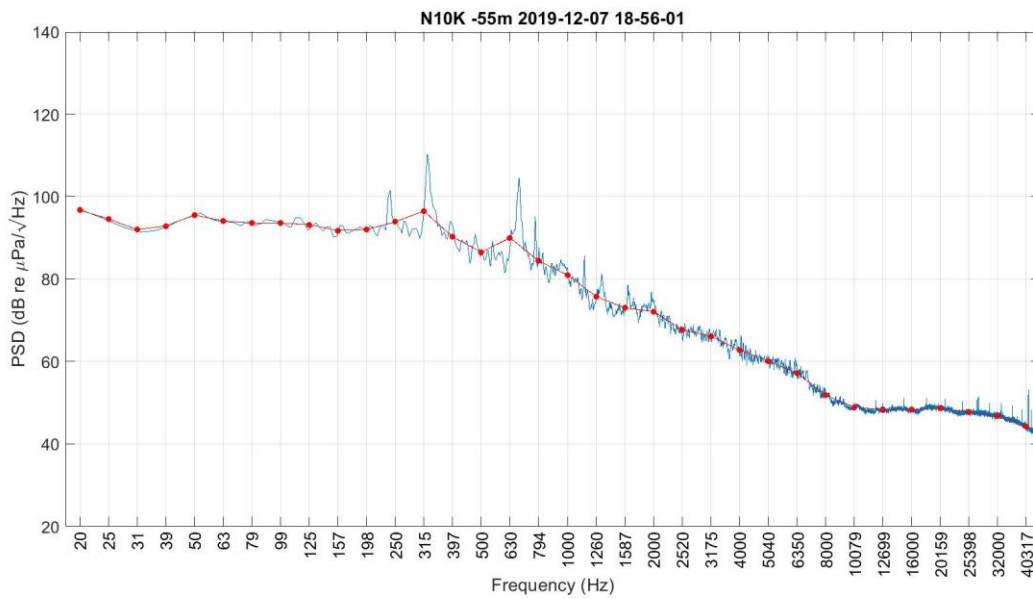


Figura 12. Spettro in terze d'ottava del rumore ambientale misurato presso la stazione N10k a 55 m di profondità, campagna A19.

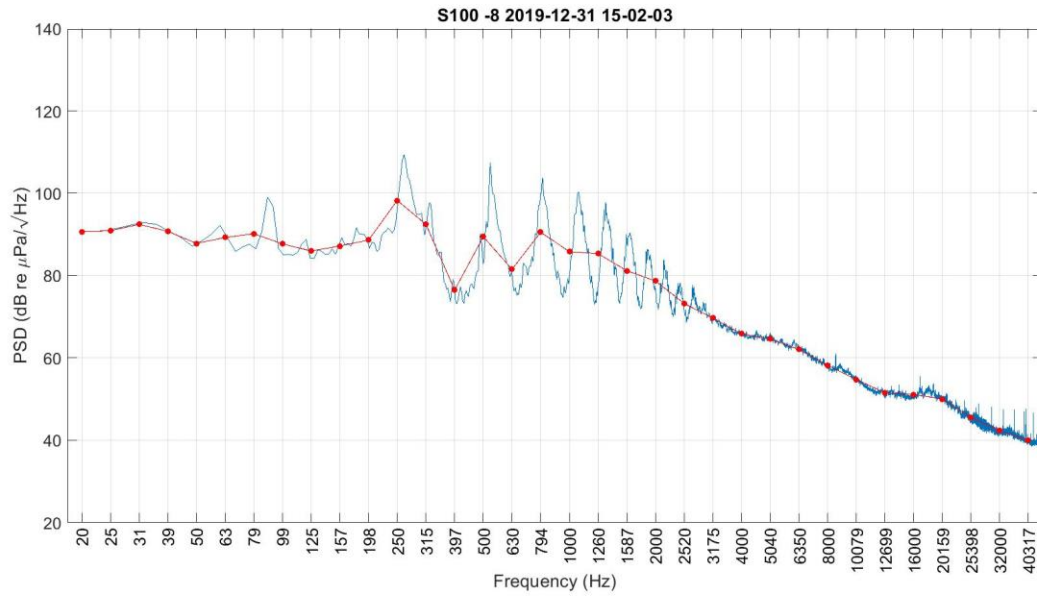


Figura 13. Spettro in terze d'ottava del rumore ambientale misurato presso la stazione S100 a 8 m di profondità, campagna A19.

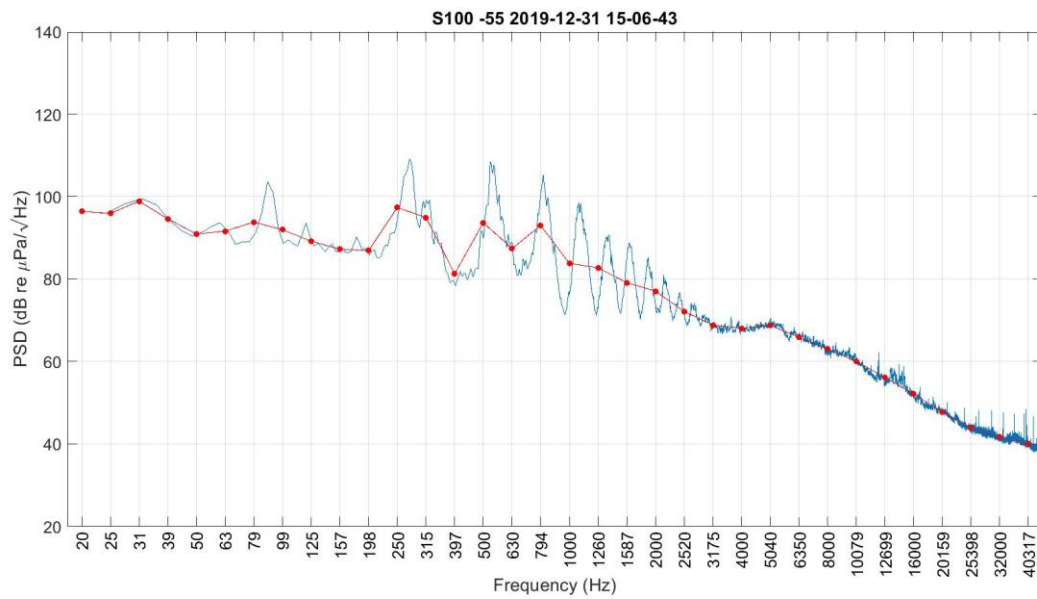


Figura 14. Spettro in terze d'ottava del rumore ambientale misurato presso la stazione S100 a 55 m di profondità, campagna A19.

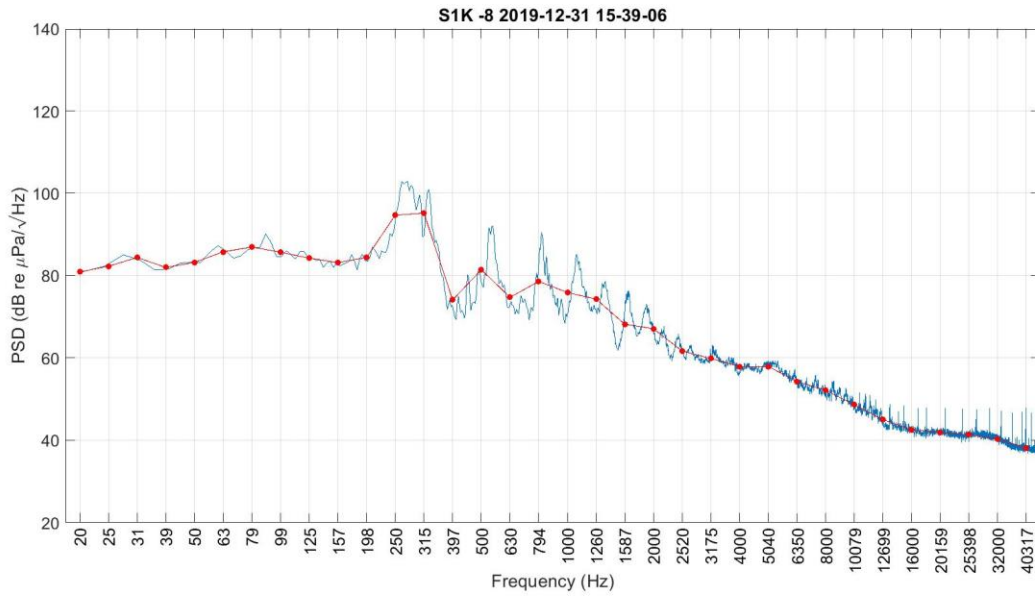


Figura 15. Spettro in terze d'ottava del rumore ambientale misurato presso la stazione S1k a 8 m di profondità, campagna A19.

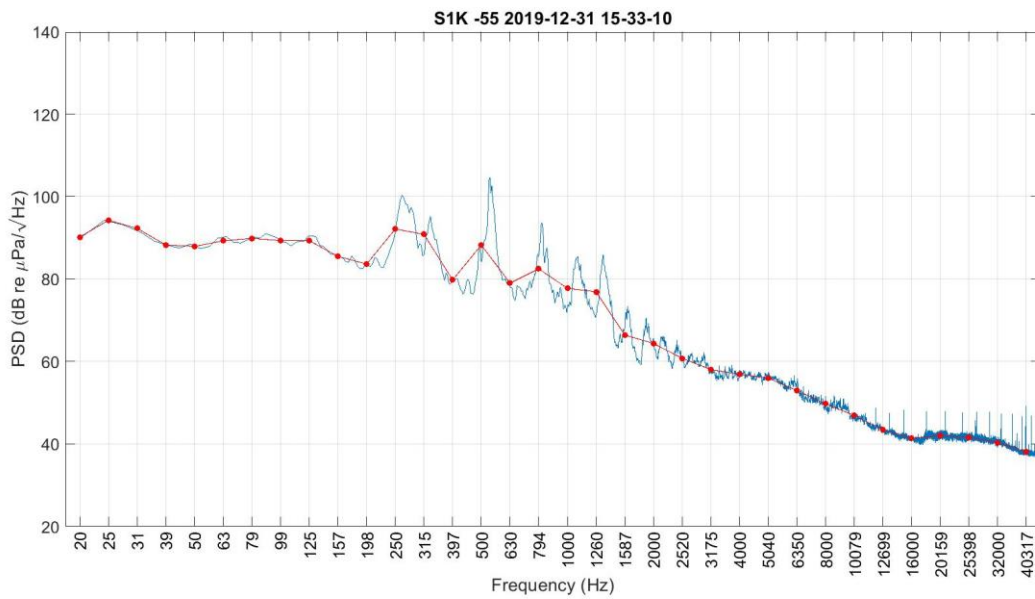


Figura 16. Spettro in terze d'ottava del rumore ambientale misurato presso la stazione S1k a 55 m di profondità, campagna A19.

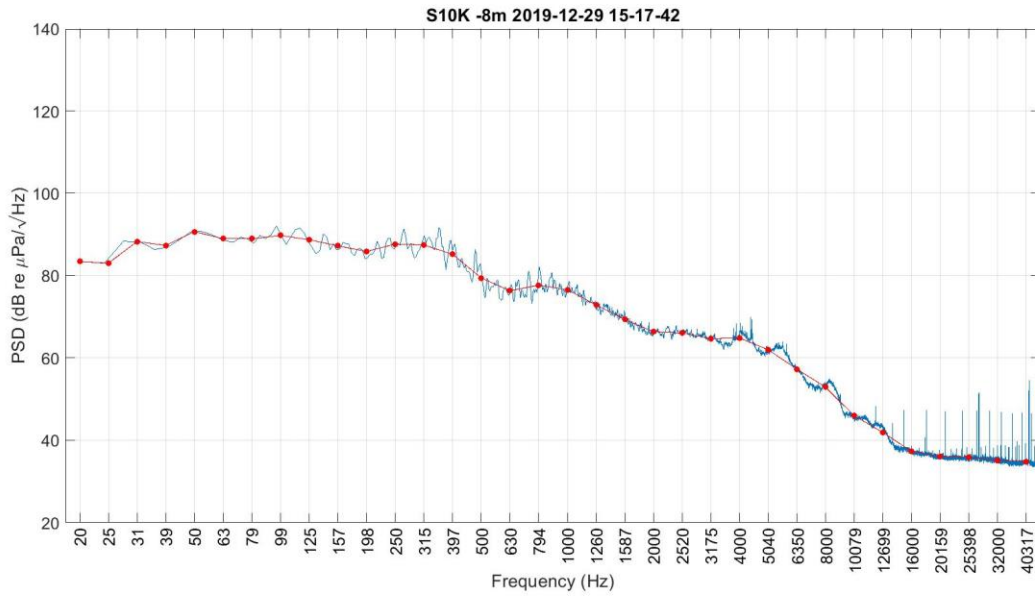


Figura 17. Spettro in terze d'ottava del rumore ambientale misurato presso la stazione S10k a 8 m di profondità, campagna A19.

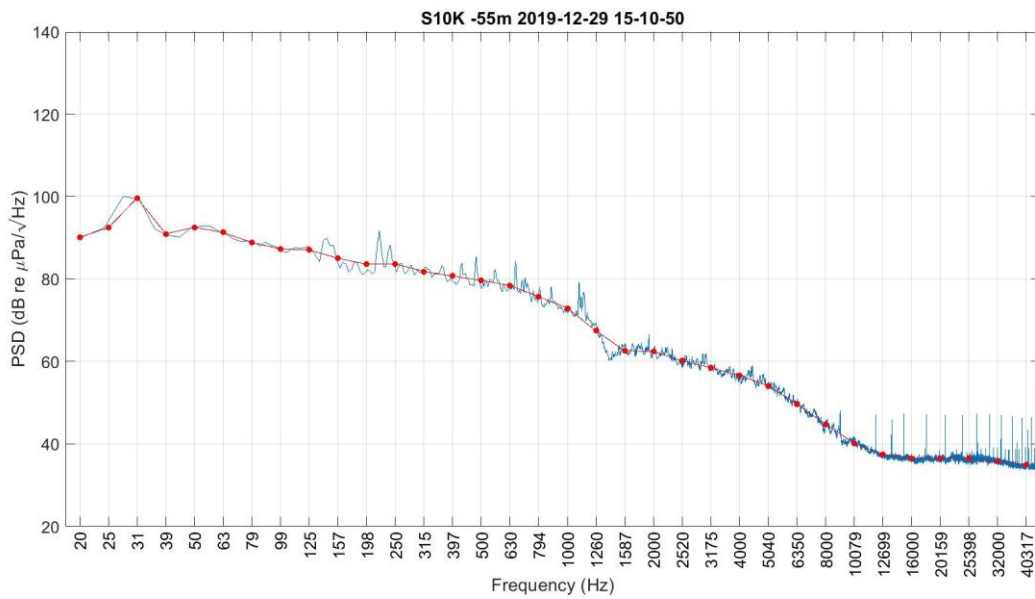


Figura 18. Spettro in terze d'ottava del rumore ambientale misurato presso la stazione S10k a 55 m di profondità, campagna A19.

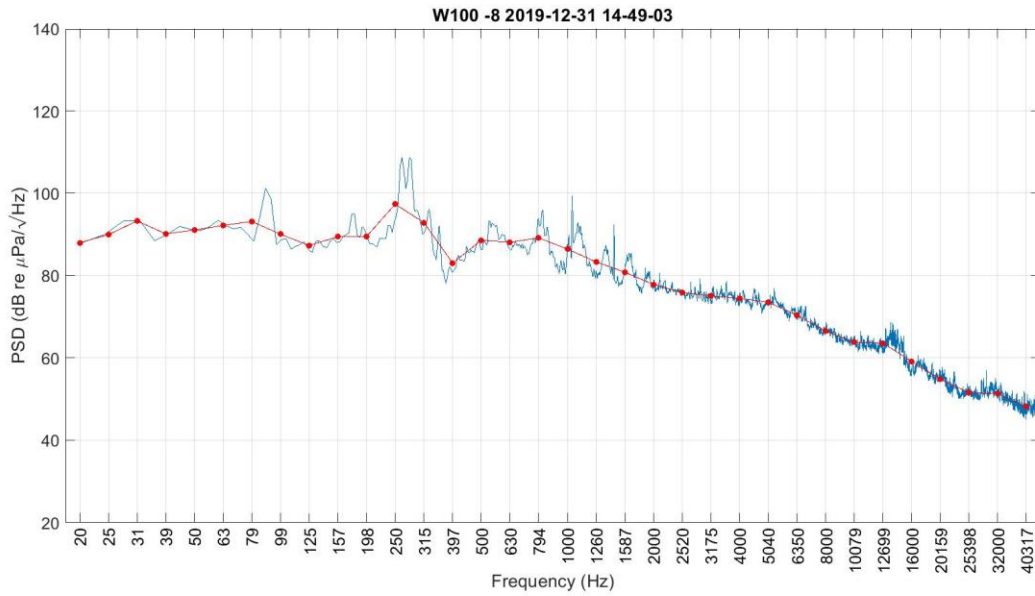


Figura 19. Spettro in terze d'ottava del rumore ambientale misurato presso la stazione W100 a 8 m di profondità, campagna A19.

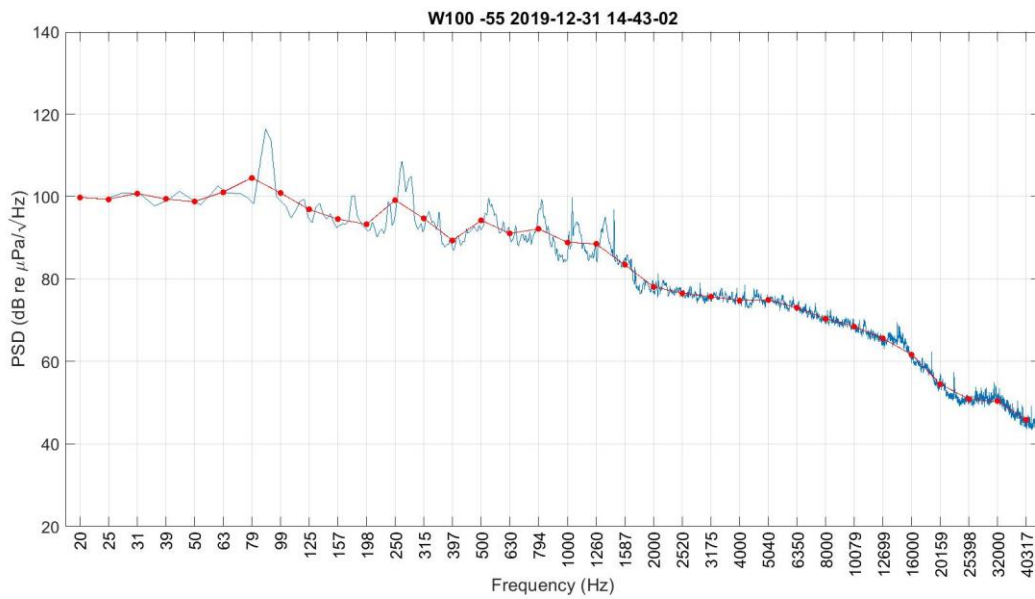


Figura 20. Spettro in terze d'ottava del rumore ambientale misurato presso la stazione W100 a 55 m di profondità, campagna A19.

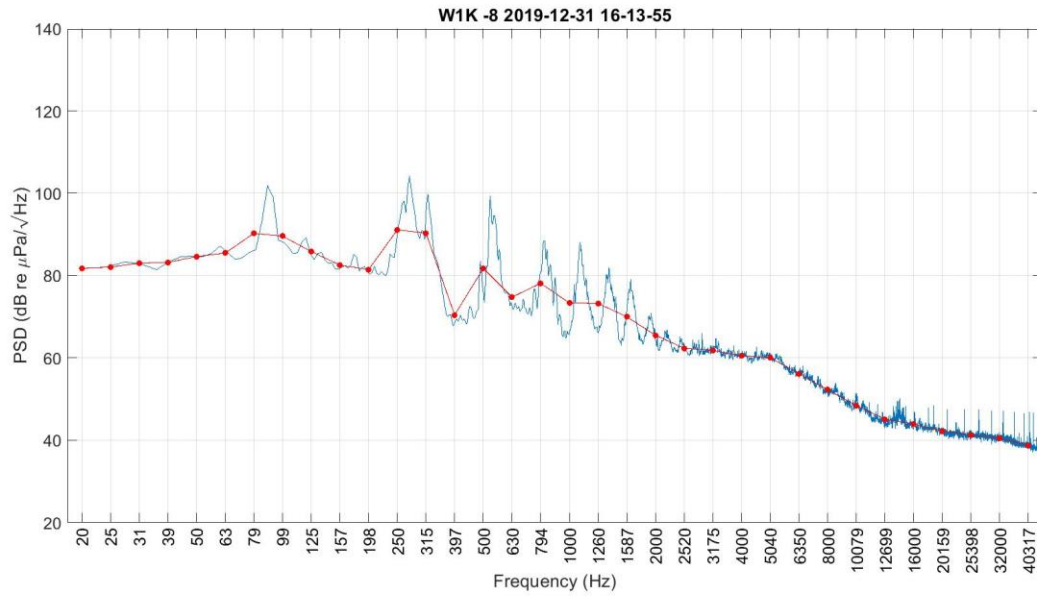


Figura 21. Spettro in terze d'ottava del rumore ambientale misurato presso la stazione W1k a 8 m di profondità, campagna A19.

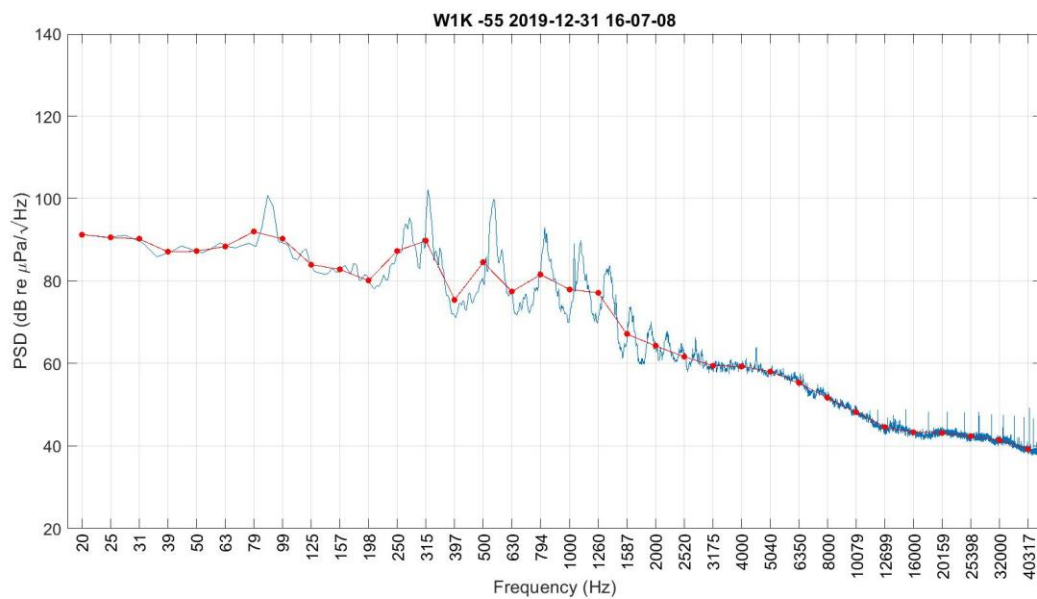


Figura 22. Spettro in terze d'ottava del rumore ambientale misurato presso la stazione W1k a 55 m di profondità, campagna A19.

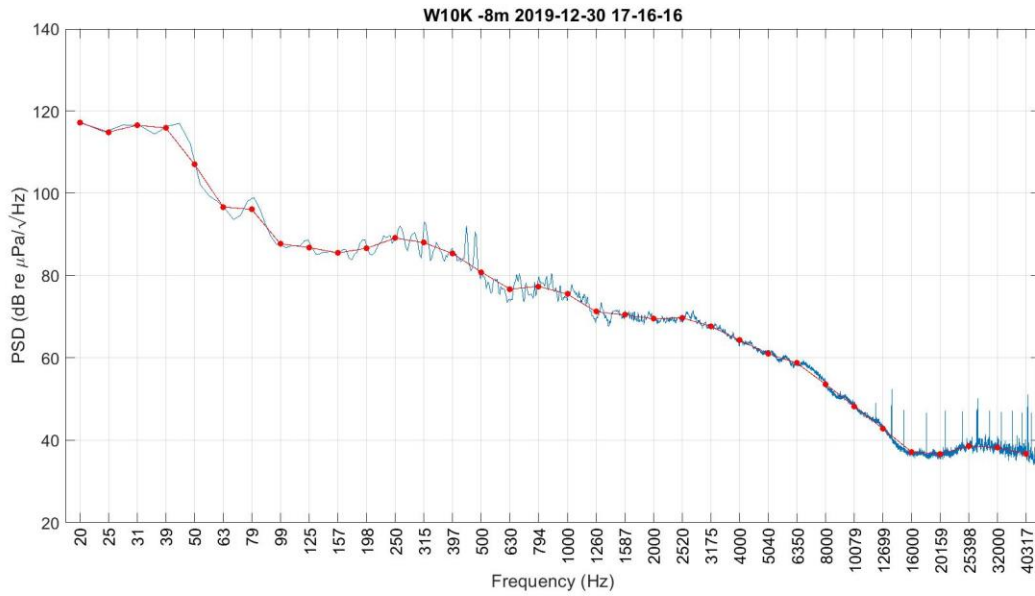


Figura 23. Spettro in terze d'ottava del rumore ambientale misurato presso la stazione W10k a 8 m di profondità, campagna A19.

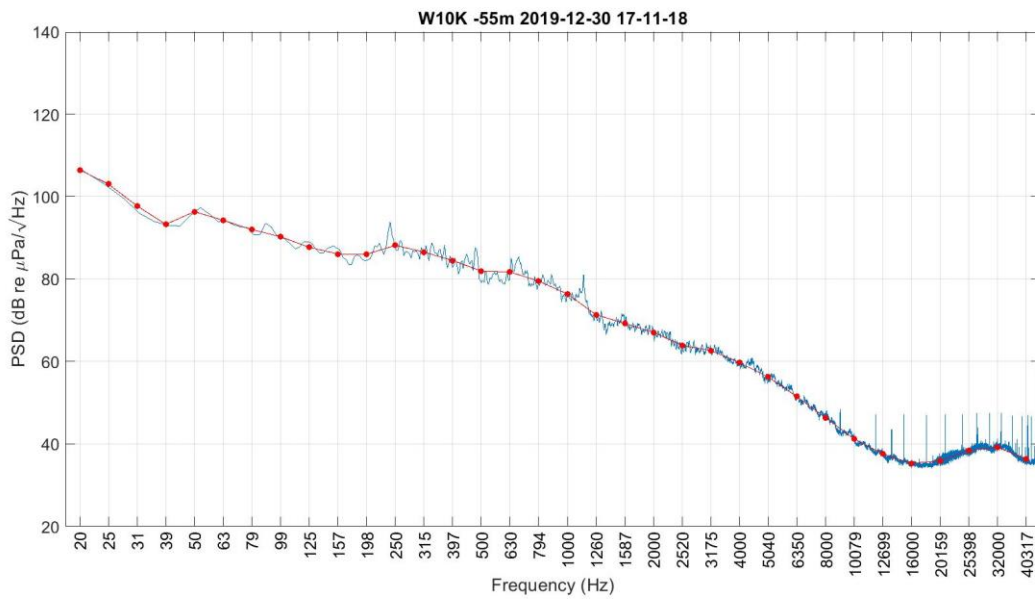


Figura 24. Spettro in terze d'ottava del rumore ambientale misurato presso la stazione W10k a 55 m di profondità, campagna A19.

Risultati PSD in terze d'ottava Campagna – I20

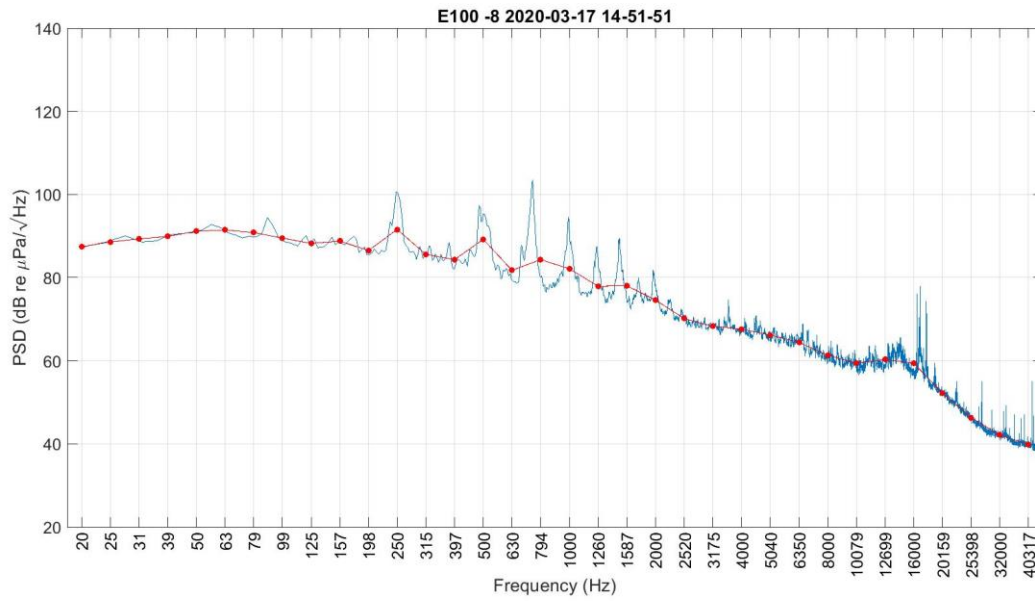


Figura 25. Spettro in terze d'ottava del rumore ambientale misurato presso la stazione E100 a 8 m di profondità, campagna I20.

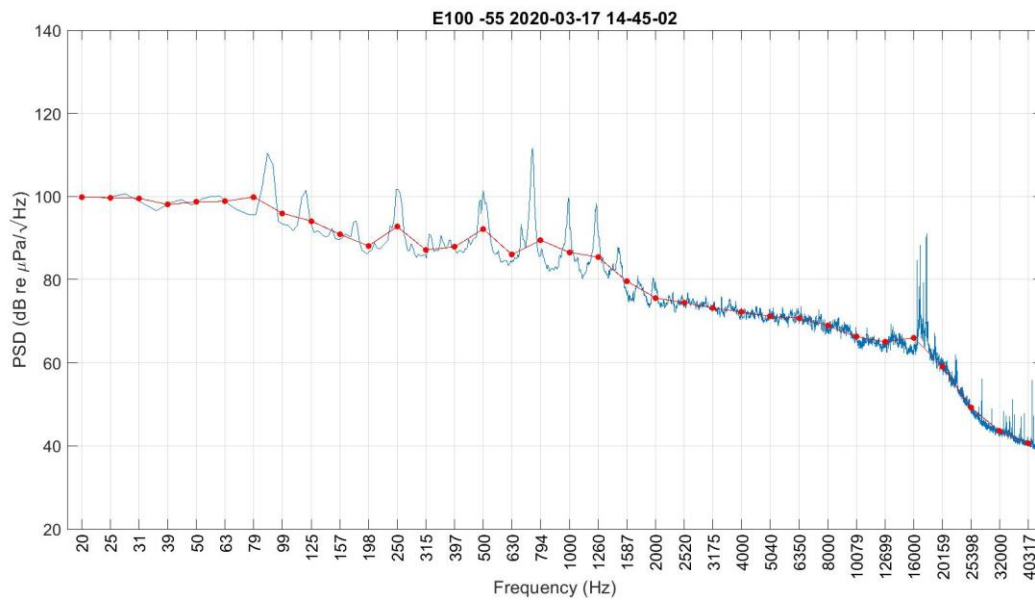


Figura 26. Spettro in terze d'ottava del rumore ambientale misurato presso la stazione E100 a 55 m di profondità, campagna I20.

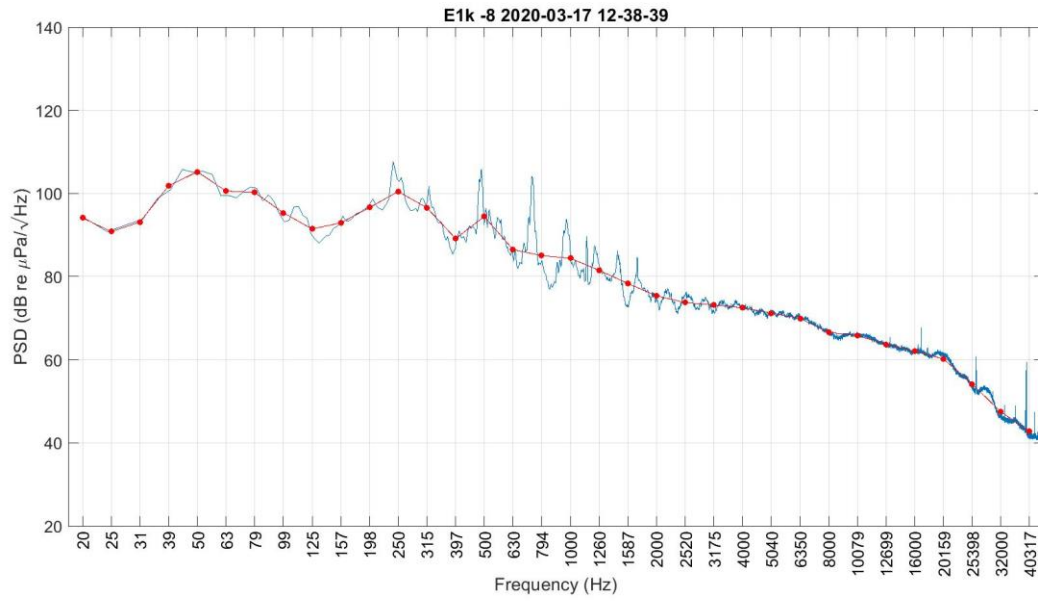


Figura 27. Spettro in terze d'ottava del rumore ambientale misurato presso la stazione E1k a 8 m di profondità, campagna I20.

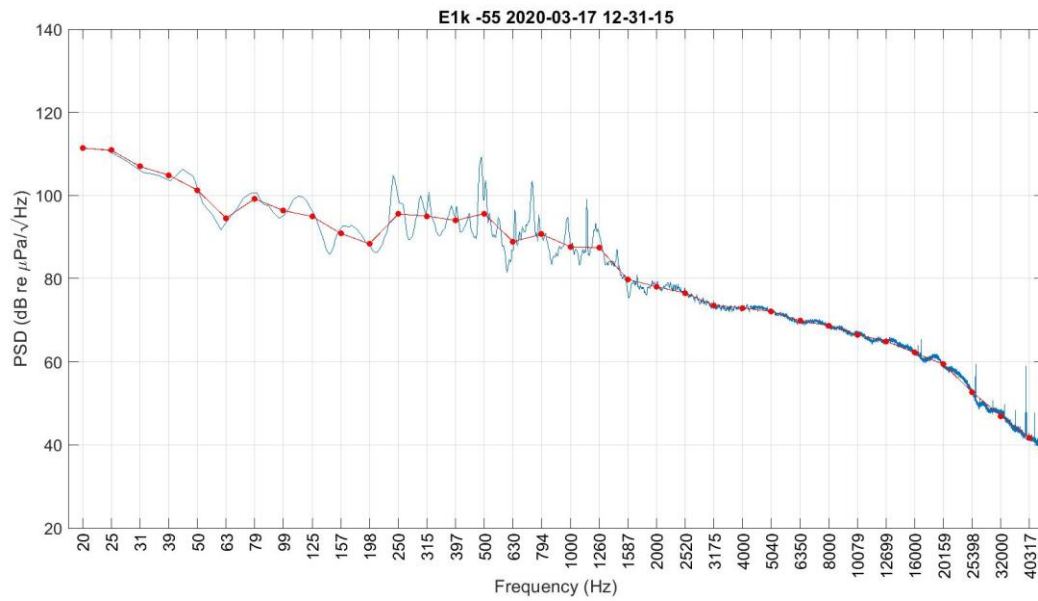


Figura 28. Spettro in terze d'ottava del rumore ambientale misurato presso la stazione E1k a 55 m di profondità, campagna I20.

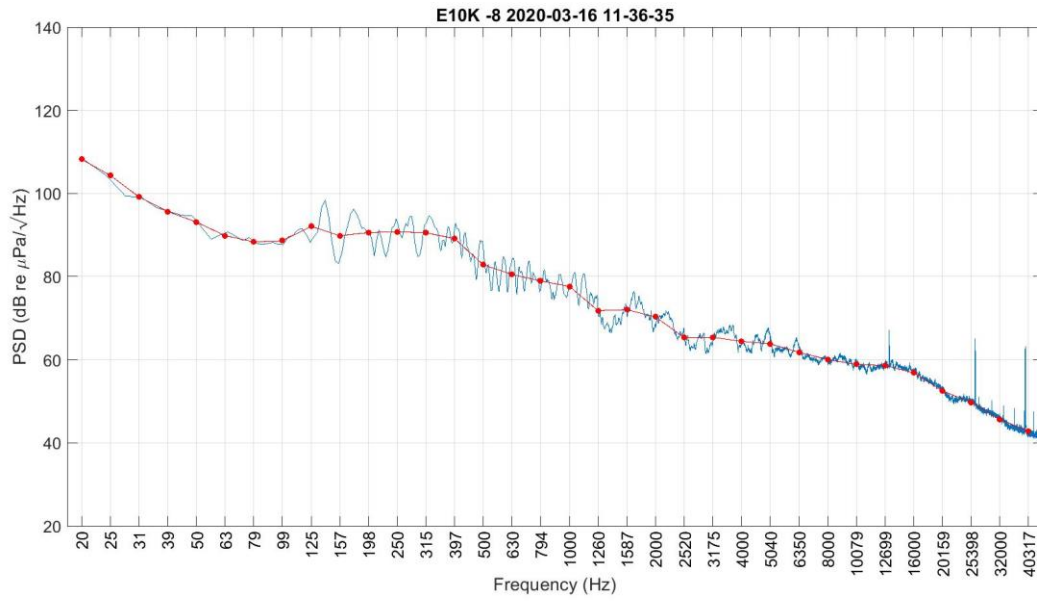


Figura 29. Spettro in terze d'ottava del rumore ambientale misurato presso la stazione E10k a 8 m di profondità, campagna I20.

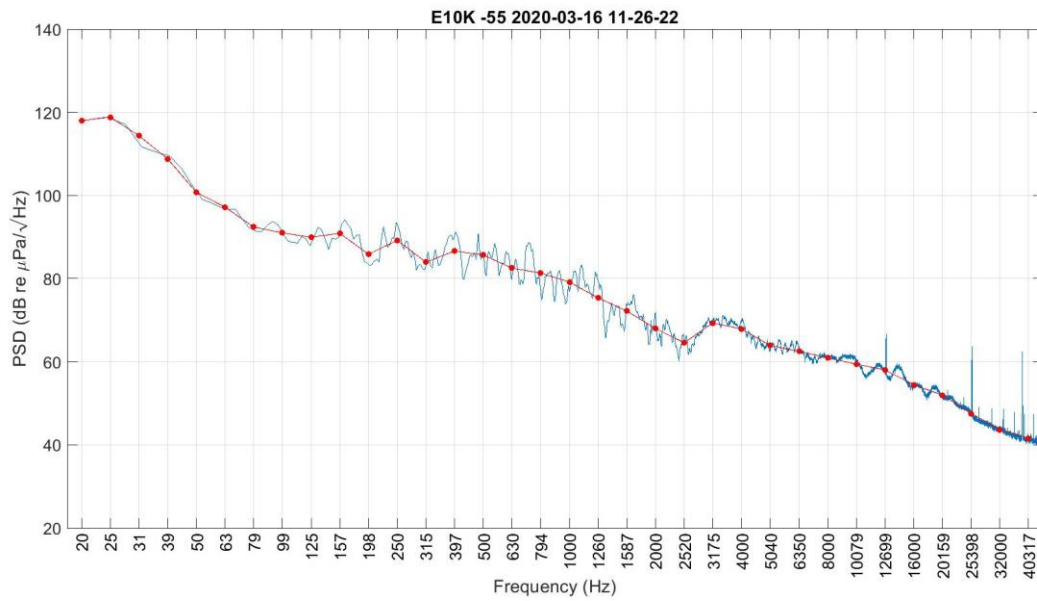


Figura 30. Spettro in terze d'ottava del rumore ambientale misurato presso la stazione E10k a 55 m di profondità, campagna I20.

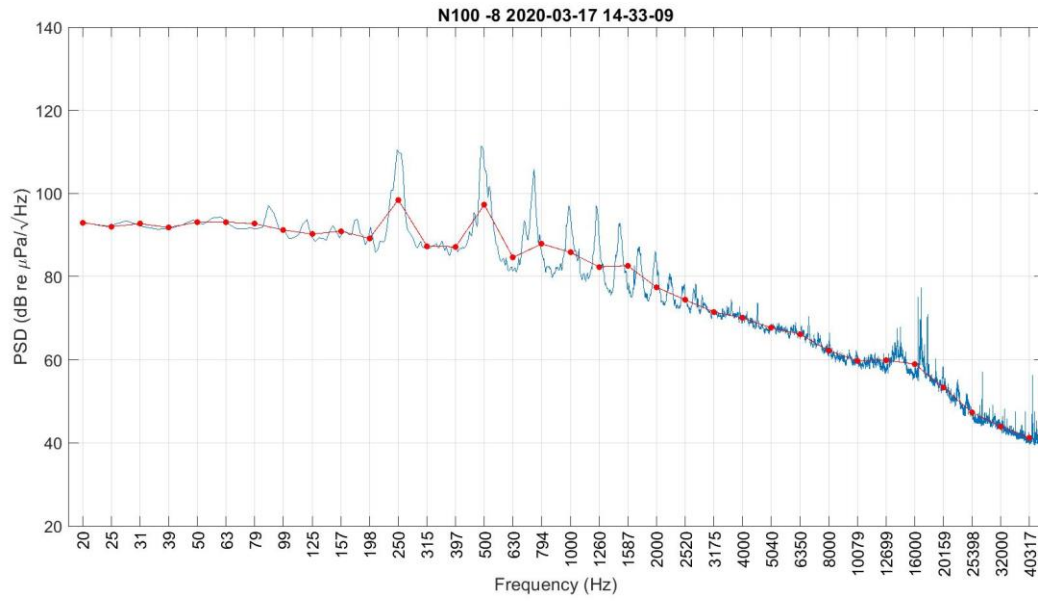


Figura 31. Spettro in terze d'ottava del rumore ambientale misurato presso la stazione N100 a 8 m di profondità, campagna I20.

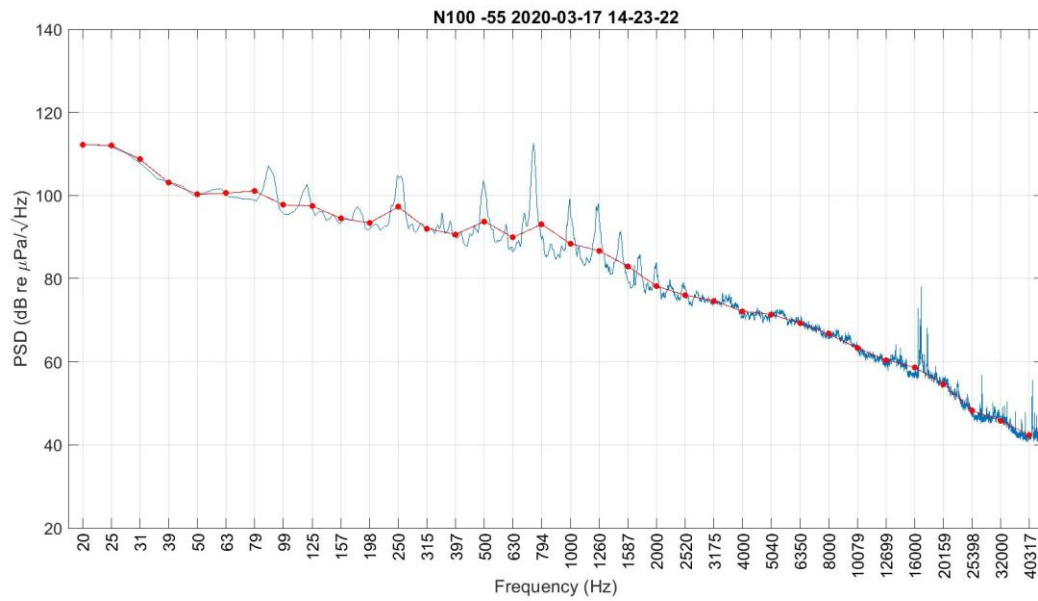


Figura 32. Spettro in terze d'ottava del rumore ambientale misurato presso la stazione N100 a 55 m di profondità, campagna I20.

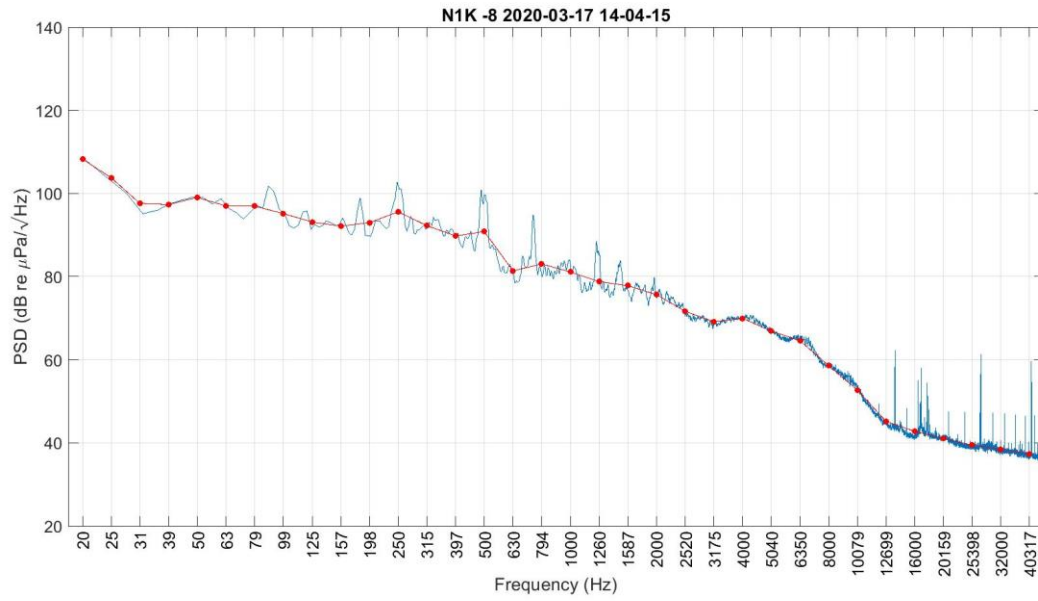


Figura 33. Spettro in terze d'ottava del rumore ambientale misurato presso la stazione N1k a 8 m di profondità, campagna I20.

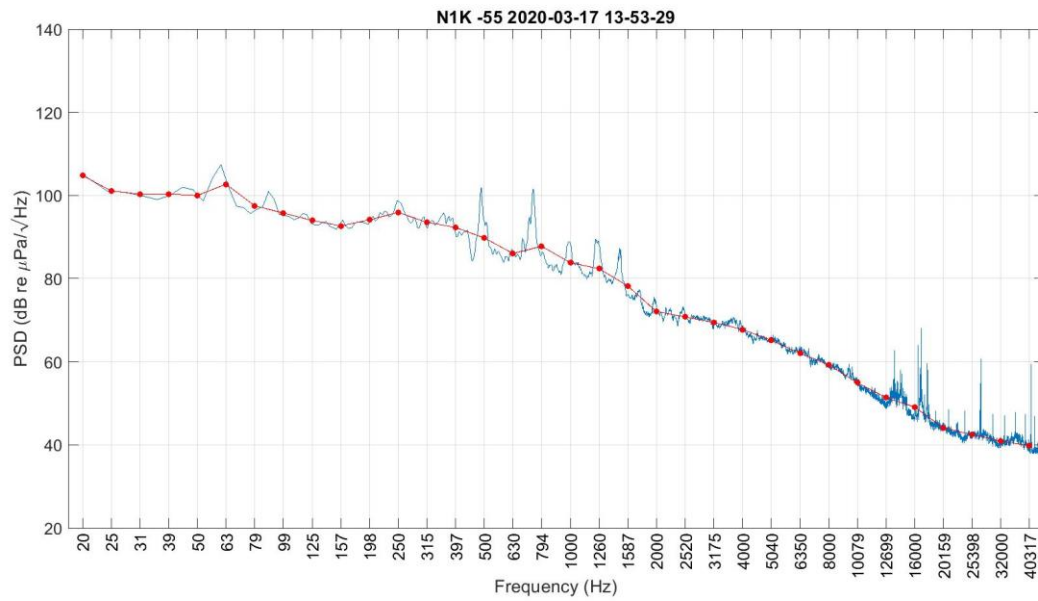


Figura 34. Spettro in terze d'ottava del rumore ambientale misurato presso la stazione N1k a 55 m di profondità, campagna I20.

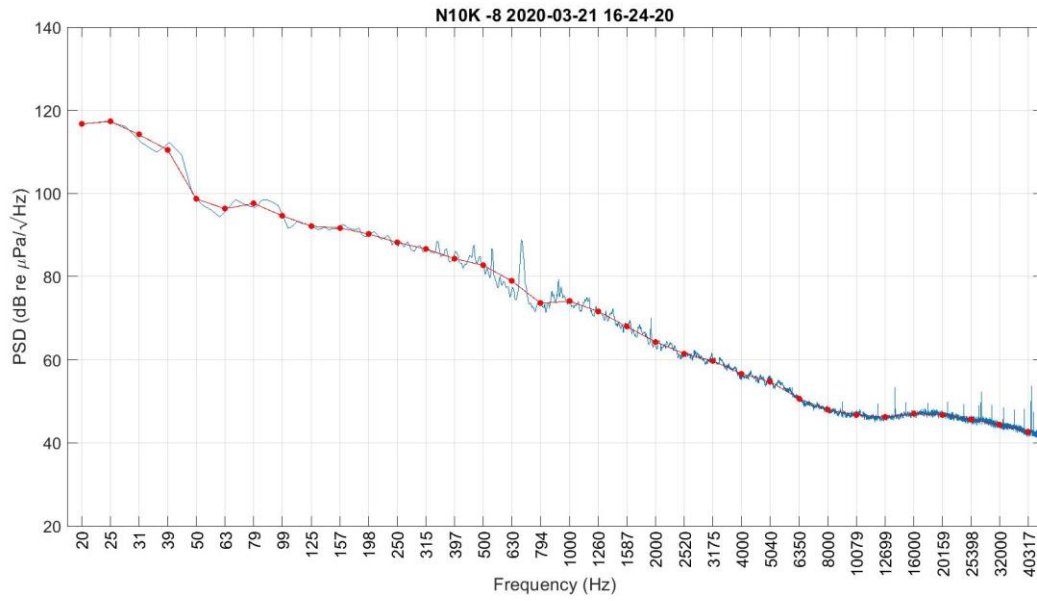


Figura 35. Spettro in terze d'ottava del rumore ambientale misurato presso la stazione N10k a 8 m di profondità, campagna I20.

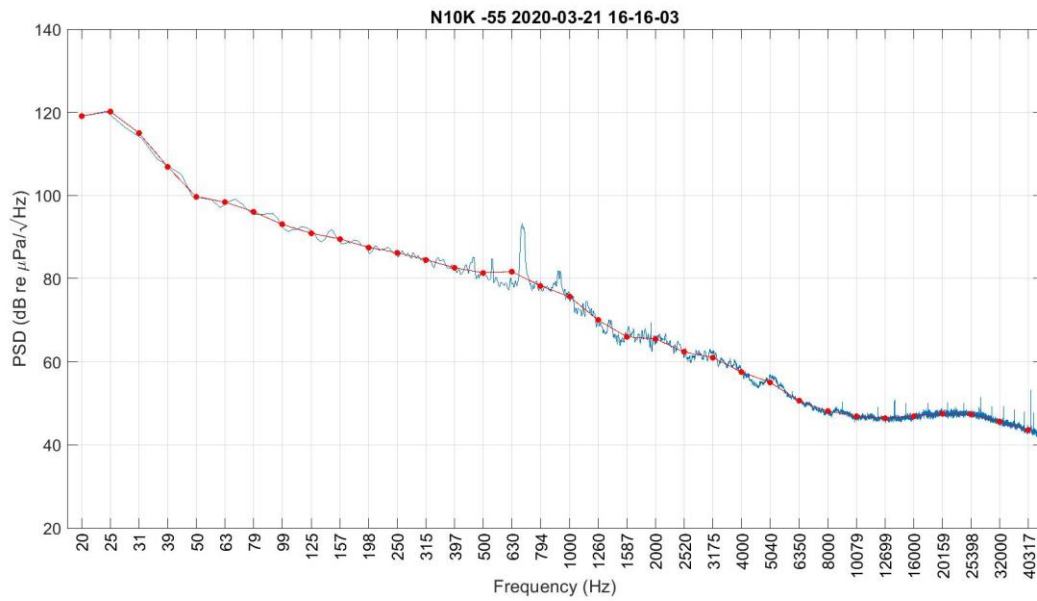


Figura 36. Spettro in terze d'ottava del rumore ambientale misurato presso la stazione N10k a 55 m di profondità, campagna I20.

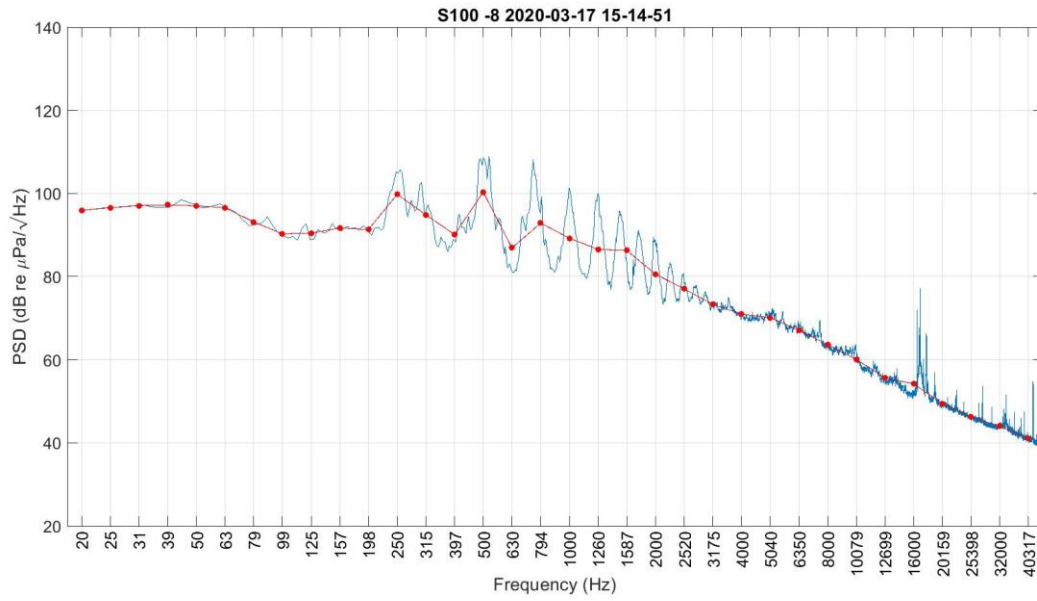


Figura 37. Spettro in terze d'ottava del rumore ambientale misurato presso la stazione S100 a 8 m di profondità, campagna I20.

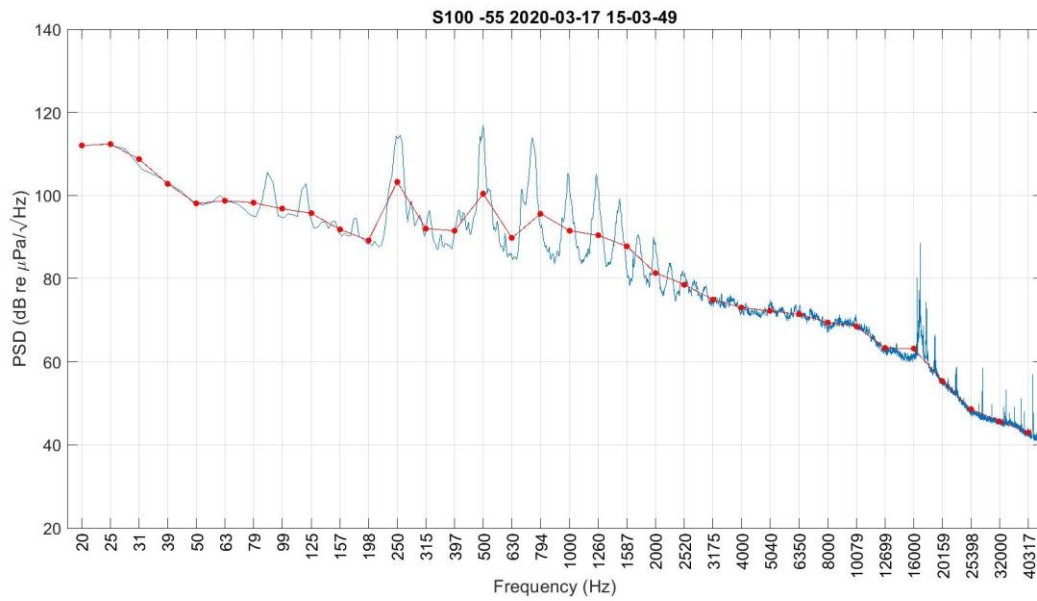


Figura 38. Spettro in terze d'ottava del rumore ambientale misurato presso la stazione S100 a 55 m di profondità, campagna I20.

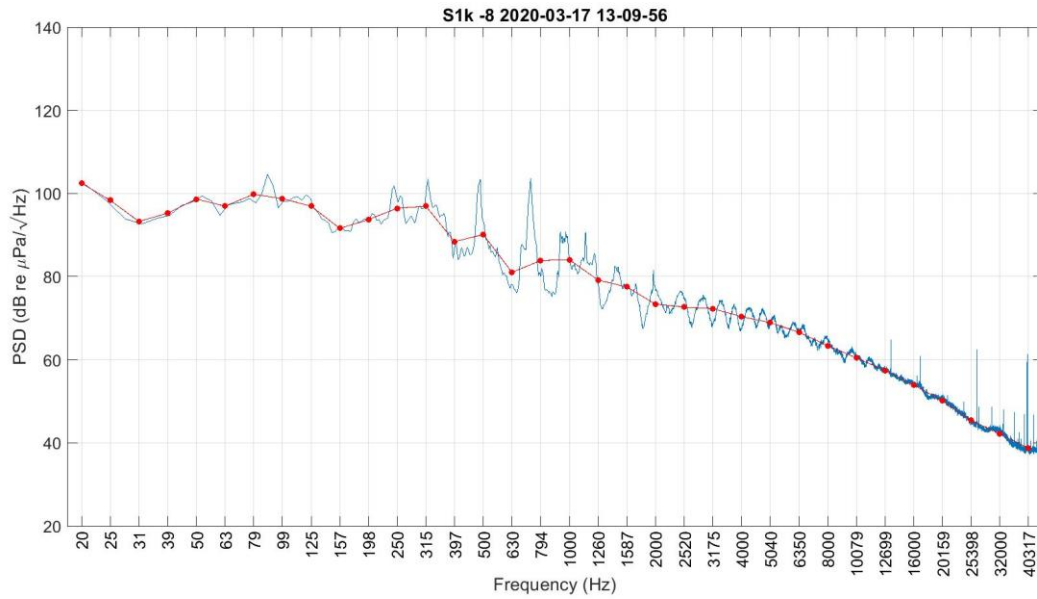


Figura 39. Spettro in terze d'ottava del rumore ambientale misurato presso la stazione S1k a 8 m di profondità, campagna I20.

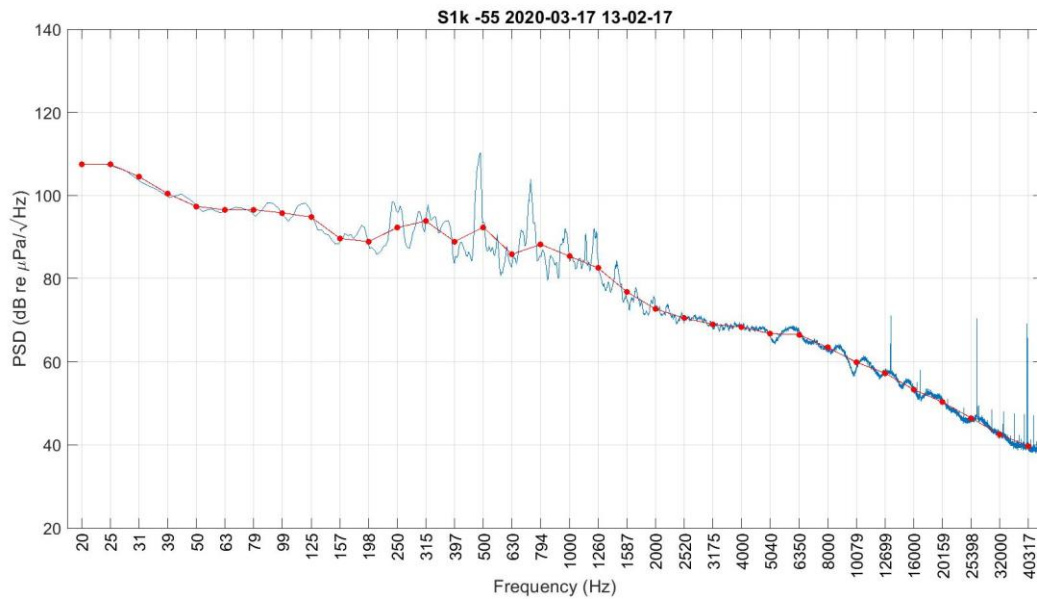


Figura 40. Spettro in terze d'ottava del rumore ambientale misurato presso la stazione S1k a 55 m di profondità, campagna I20.

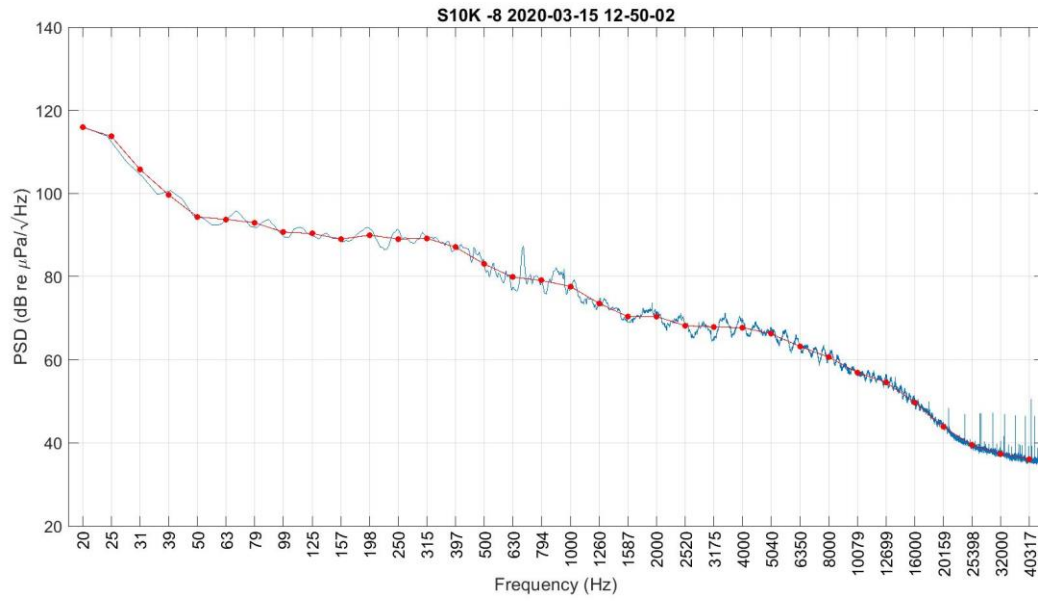


Figura 41. Spettro in terze d'ottava del rumore ambientale misurato presso la stazione S10k a 8 m di profondità, campagna I20.

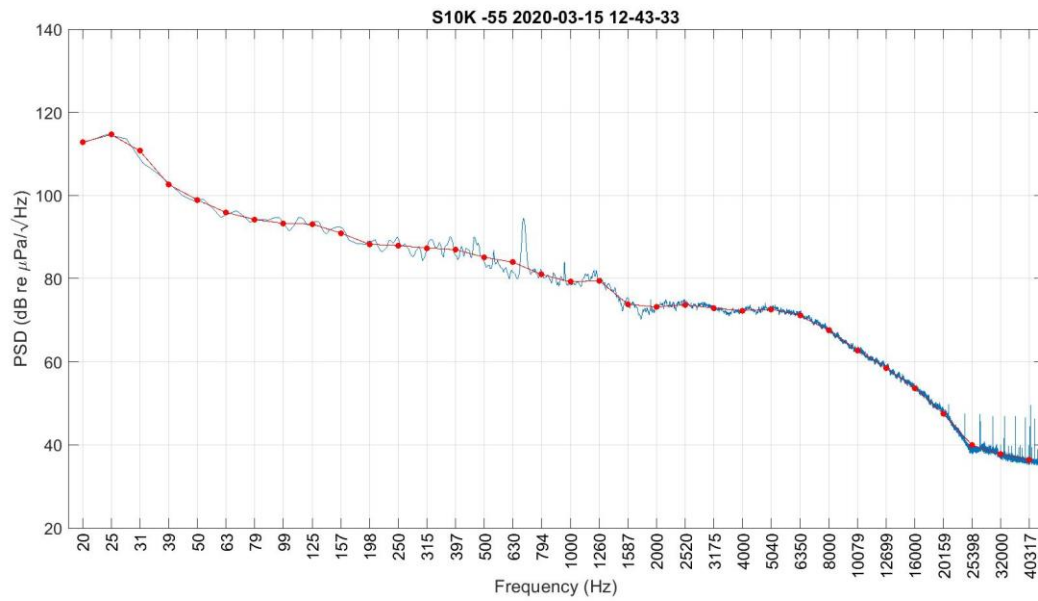


Figura 42. Spettro in terze d'ottava del rumore ambientale misurato presso la stazione S10k a 55 m di profondità, campagna I20.

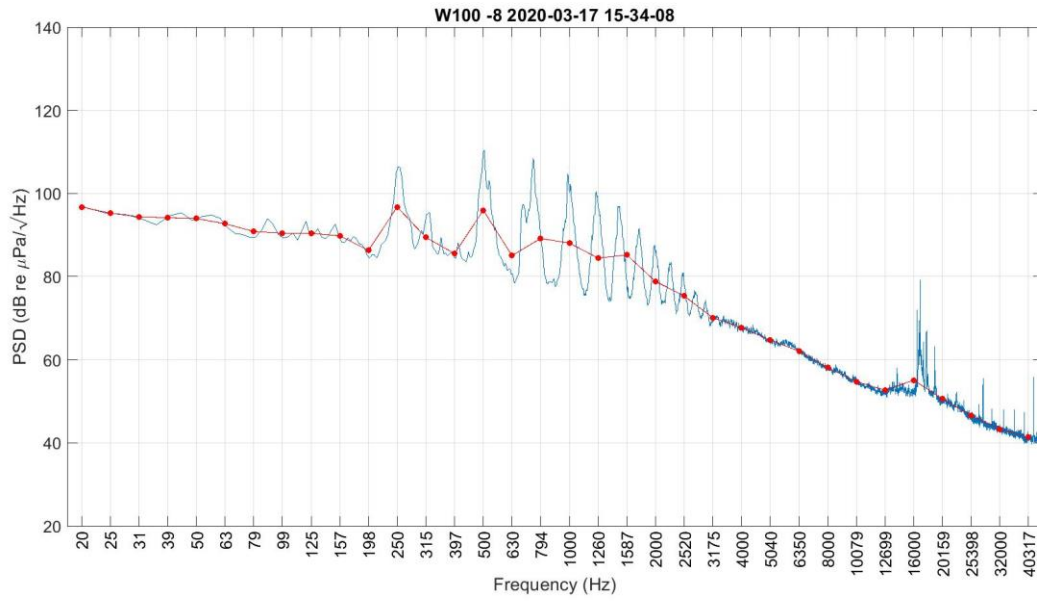


Figura 43. Spettro in terze d'ottava del rumore ambientale misurato presso la stazione W100 a 8 m di profondità, campagna I20.

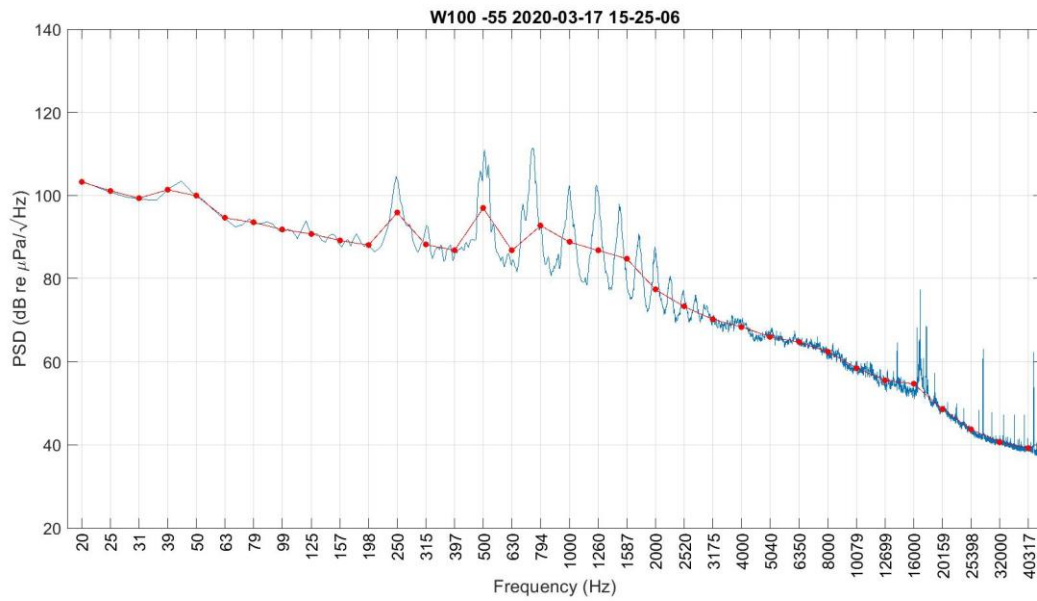


Figura 44. Spettro in terze d'ottava del rumore ambientale misurato presso la stazione W100 a 55 m di profondità, campagna I20.

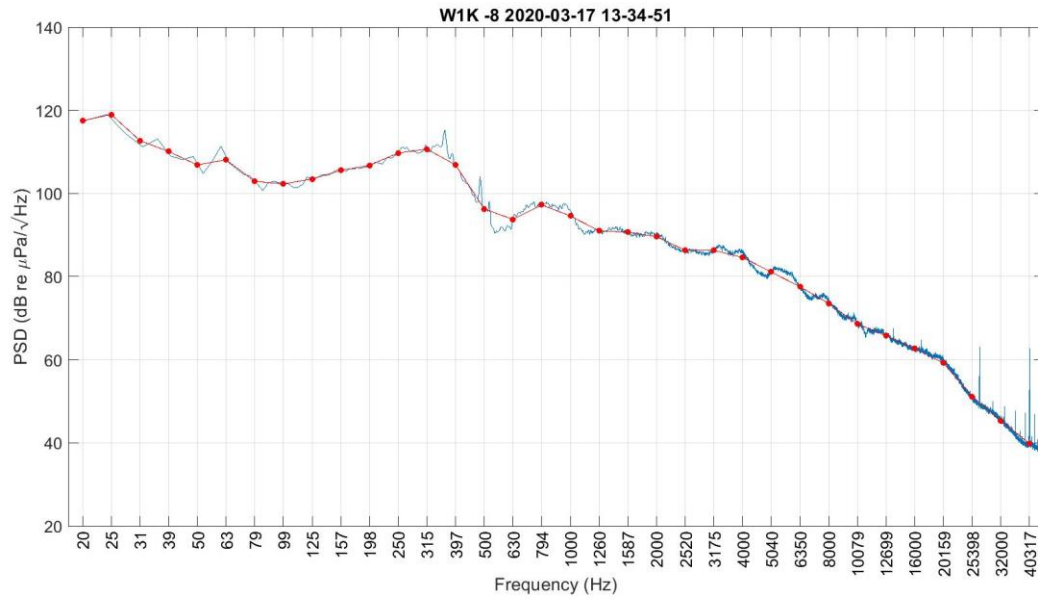


Figura 45. Spettro in terze d'ottava del rumore ambientale misurato presso la stazione W1k a 8 m di profondità, campagna I20.

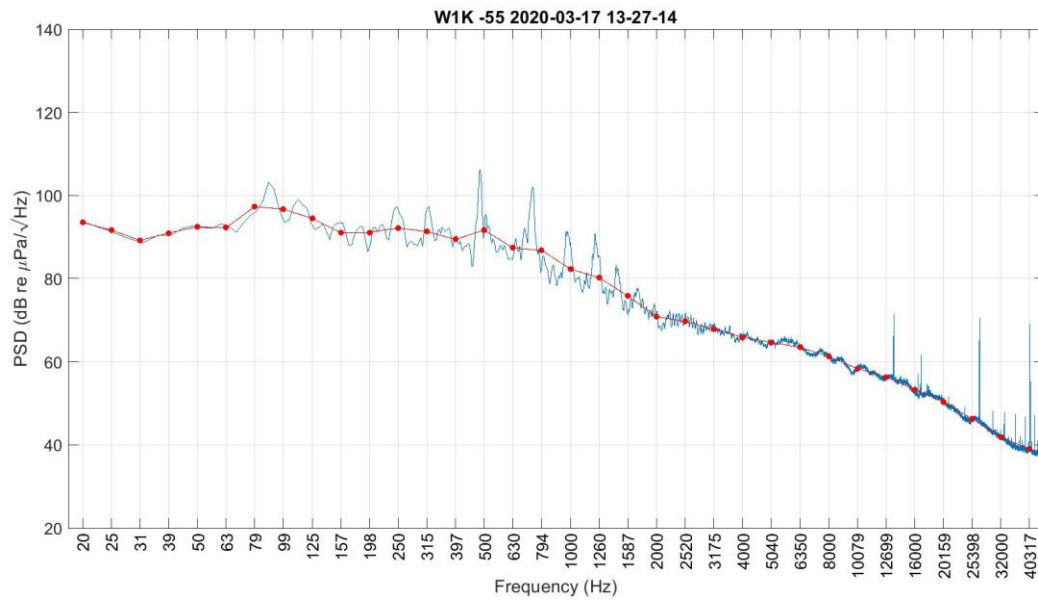


Figura 46. Spettro in terze d'ottava del rumore ambientale misurato presso la stazione W1k a 55 m di profondità, campagna I20.

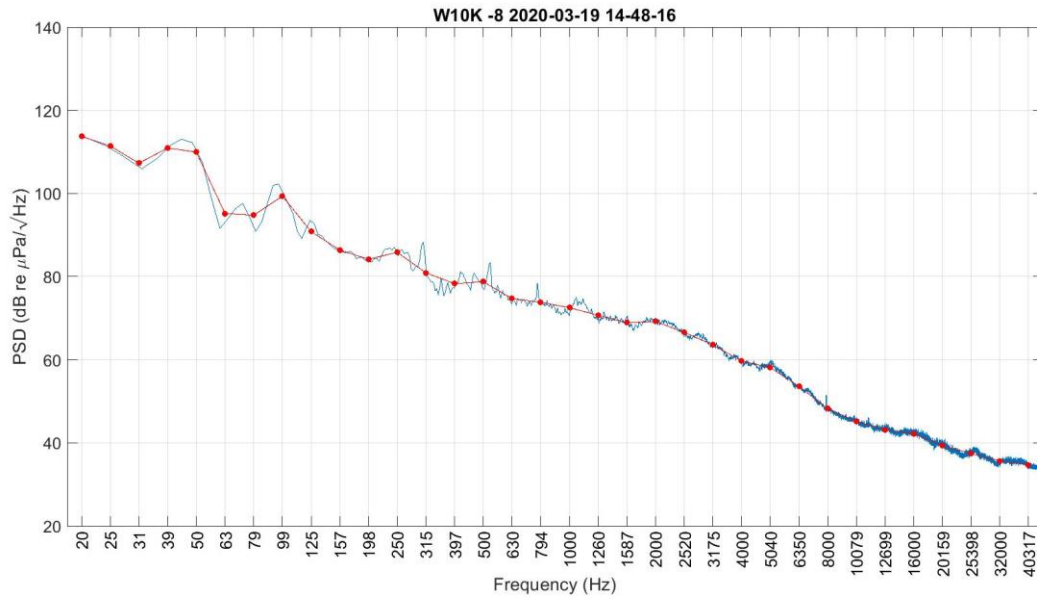


Figura 47. Spettro in terze d'ottava del rumore ambientale misurato presso la stazione W10k a 8 m di profondità, campagna I20.

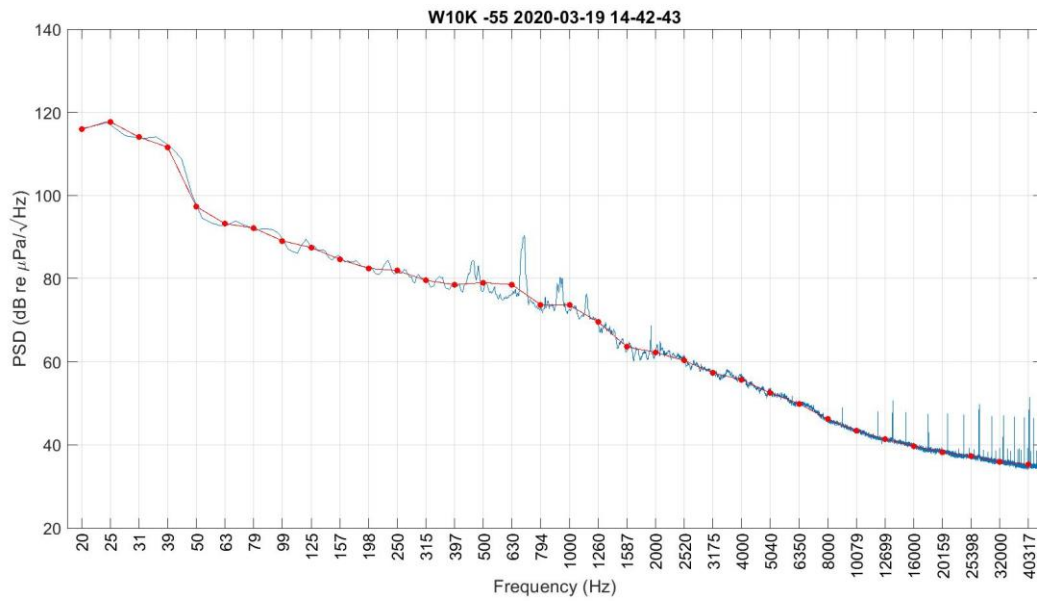


Figura 48. Spettro in terze d'ottava del rumore ambientale misurato presso la stazione W10k a 55 m di profondità, campagna I20.

Risultati PSD in terze d'ottava Campagna – P20

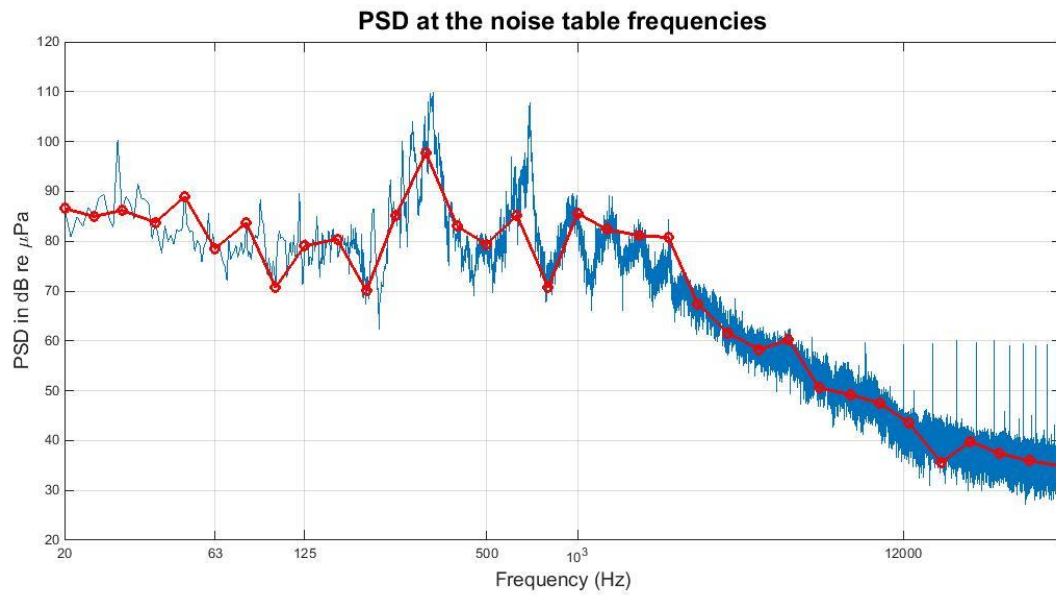


Figura 49. Spettro in terze d'ottava del rumore ambientale misurato presso la stazione E100 a 8 m di profondità, campagna P20.

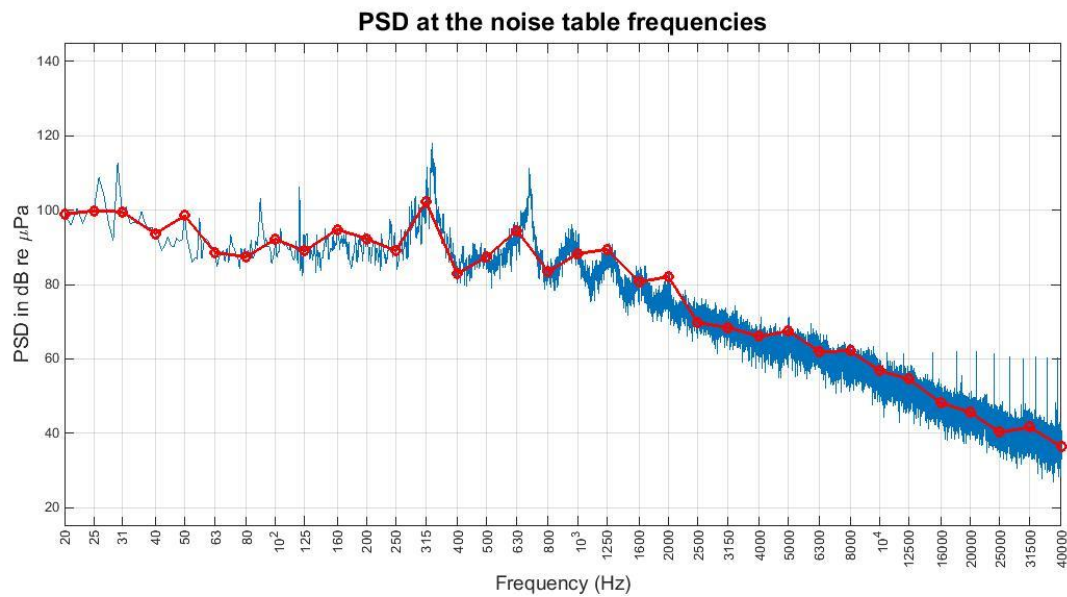


Figura 50. Spettro in terze d'ottava del rumore ambientale misurato presso la stazione E100 a 55 m di profondità, campagna P20.

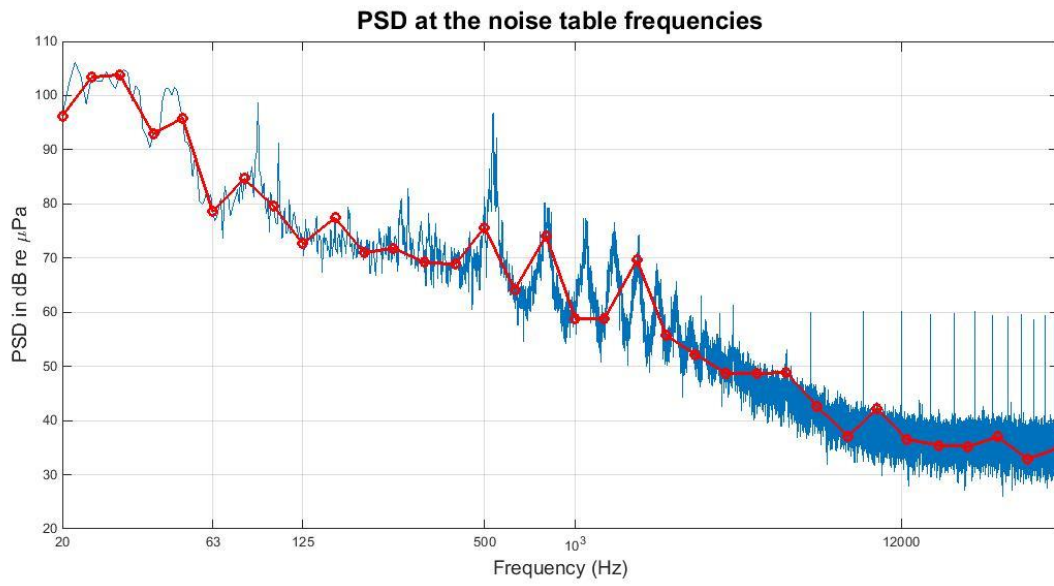


Figura 51. Spettro in terze d'ottava del rumore ambientale misurato presso la stazione E1k a 8 m di profondità, campagna P20.

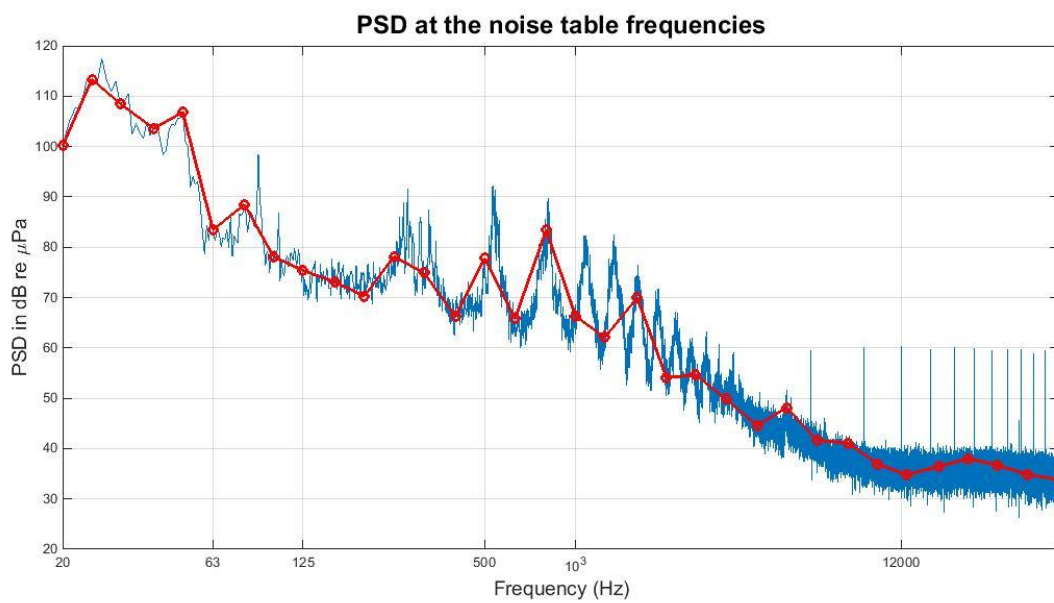


Figura 52. Spettro in terze d'ottava del rumore ambientale misurato presso la stazione E1k a 55 m di profondità, campagna P20.

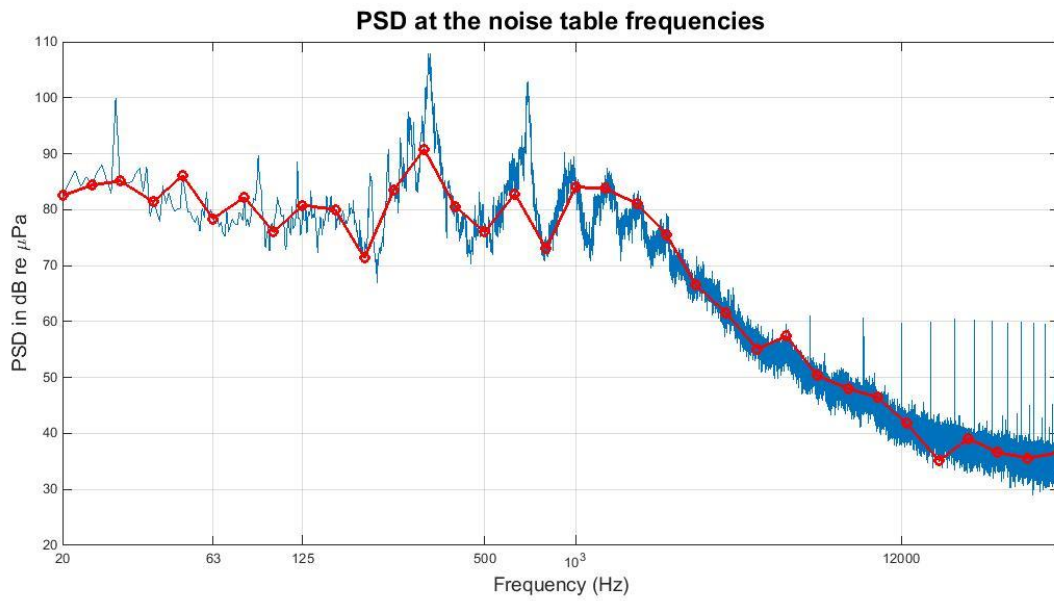


Figura 53. Spettro in terze d'ottava del rumore ambientale misurato presso la stazione N100 a 8 m di profondità, campagna P20.

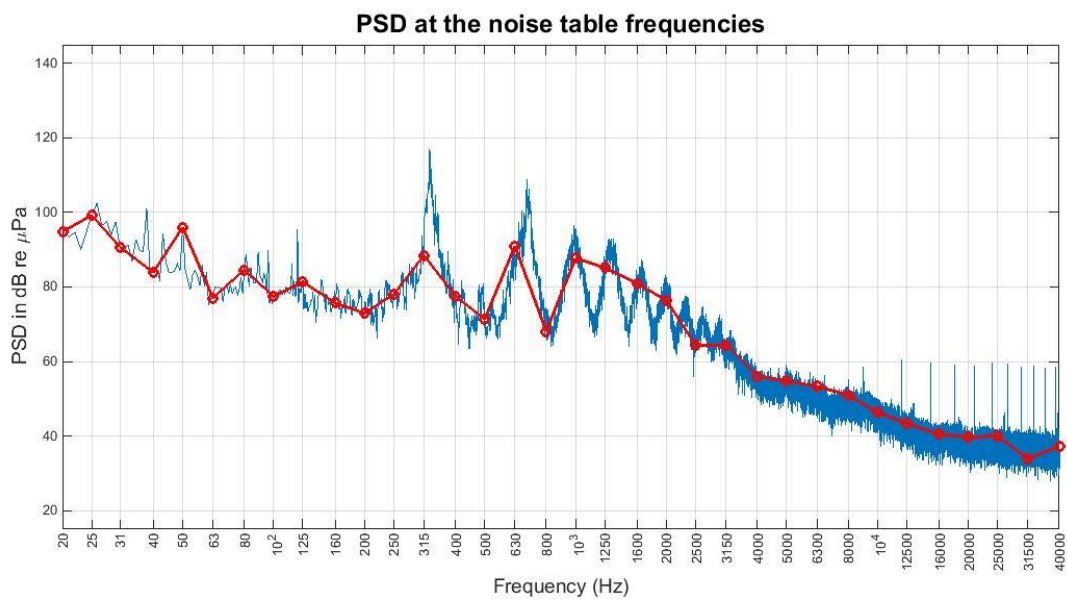


Figura 54. Spettro in terze d'ottava del rumore ambientale misurato presso la stazione N100 a 55 m di profondità, campagna P20.

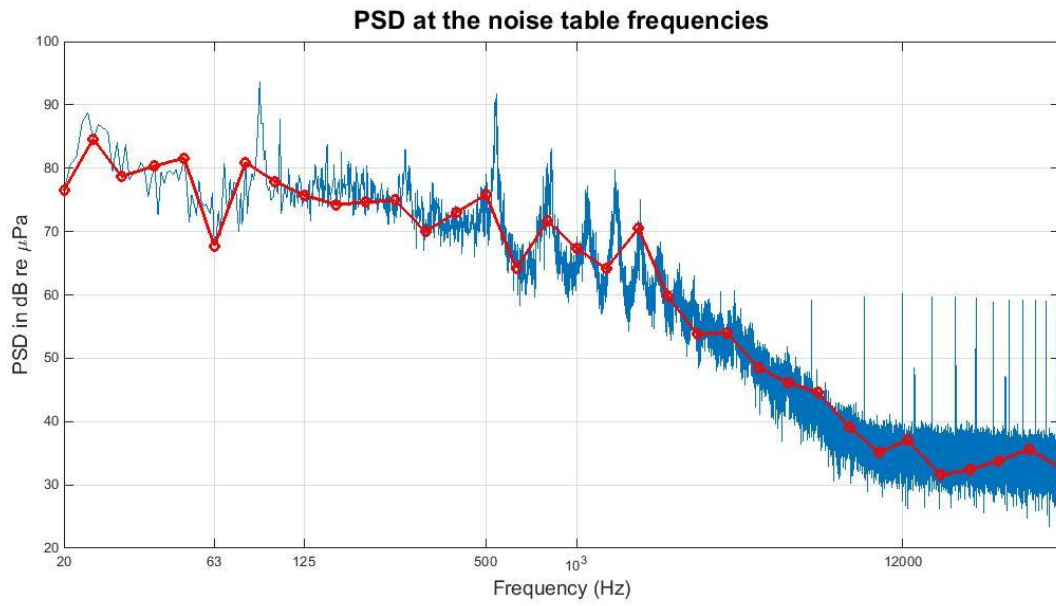


Figura 55. Spettro in terze d'ottava del rumore ambientale misurato presso la stazione N1k a 8 m di profondità, campagna P20.

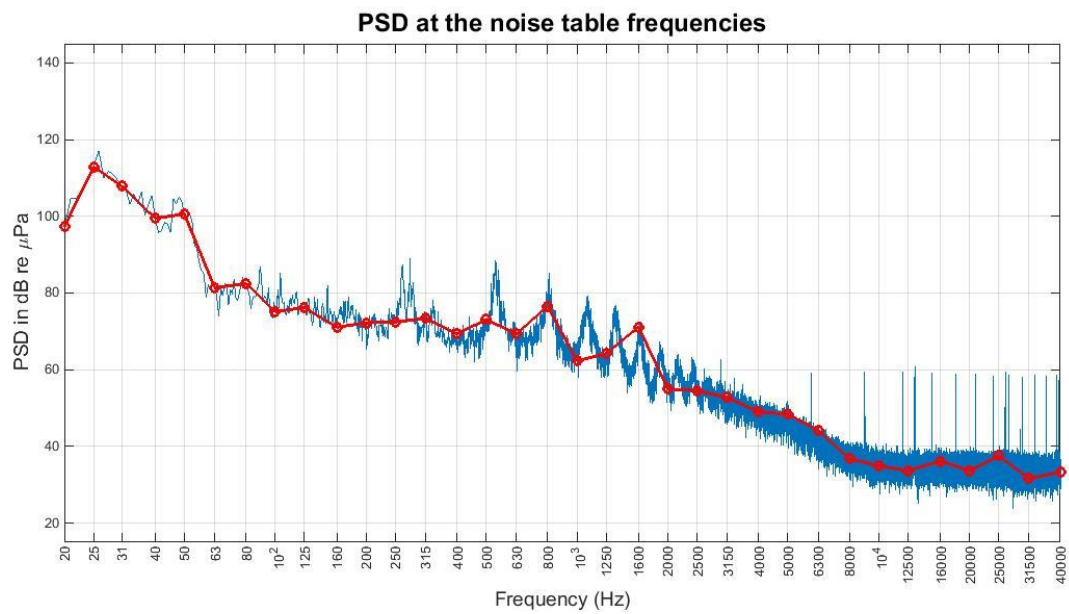


Figura 56. Spettro in terze d'ottava del rumore ambientale misurato presso la stazione N1k a 55 m di profondità, campagna P20.

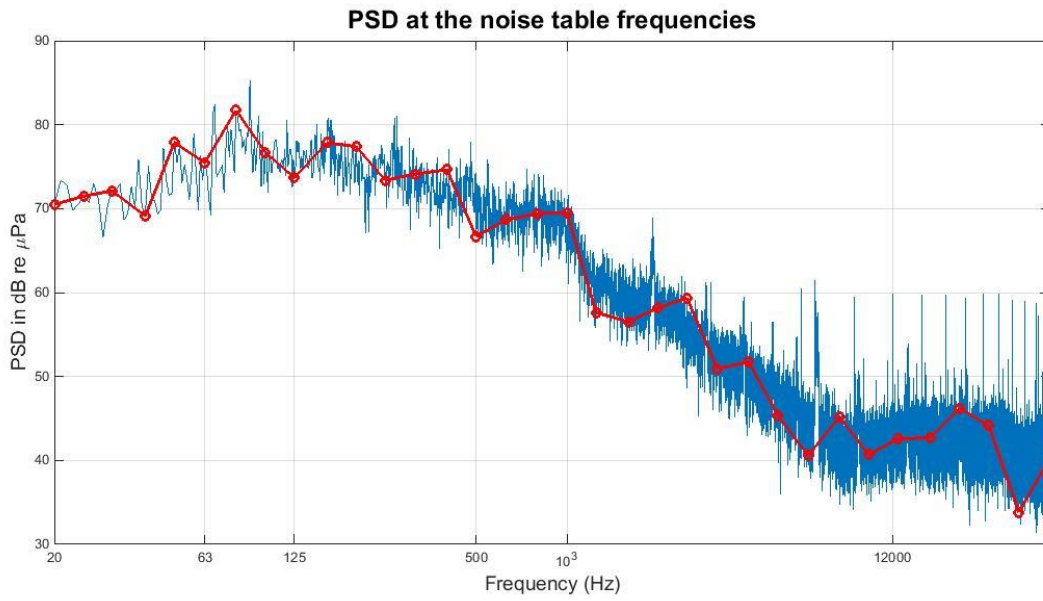


Figura 57. Spettro in terze d'ottava del rumore ambientale misurato presso la stazione N10k a 8 m di profondità, campagna P20.

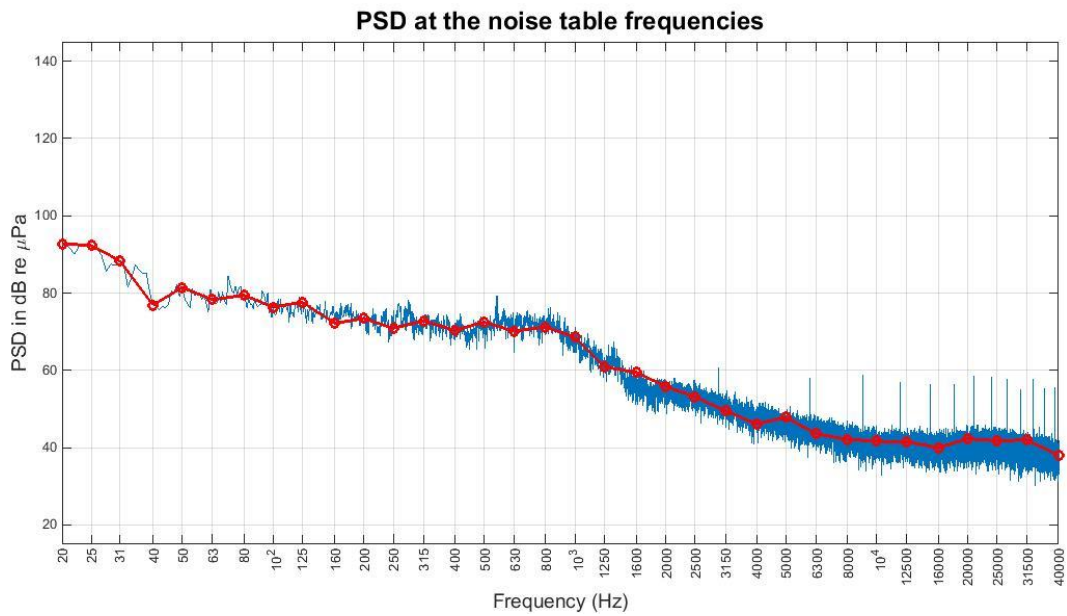


Figura 58. Spettro in terze d'ottava del rumore ambientale misurato presso la stazione N10k a 55 m di profondità, campagna P20.

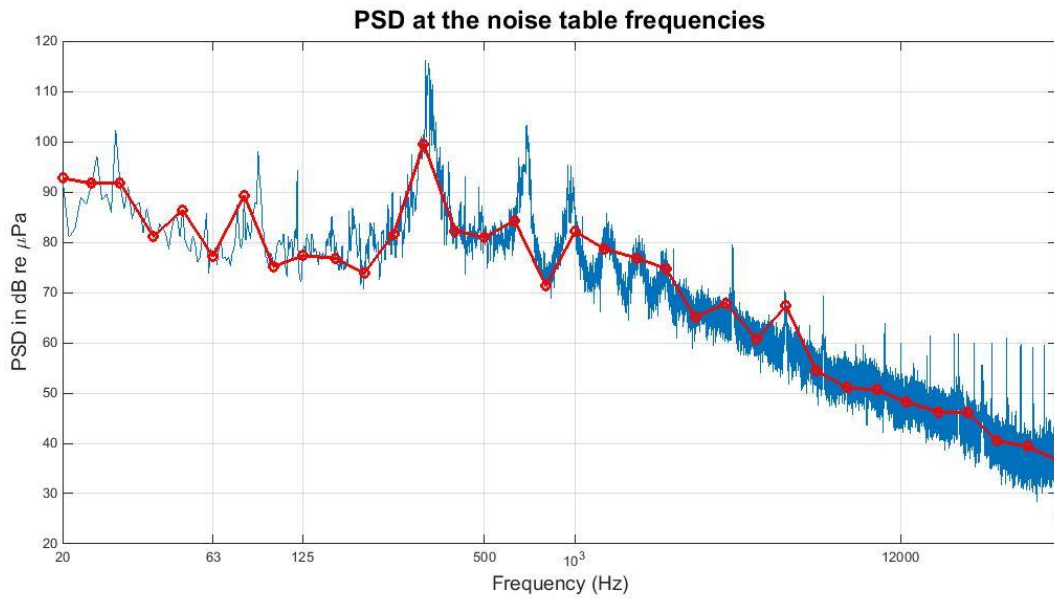


Figura 59. Spettro in terze d'ottava del rumore ambientale misurato presso la stazione S100 a 8 m di profondità, campagna P20.

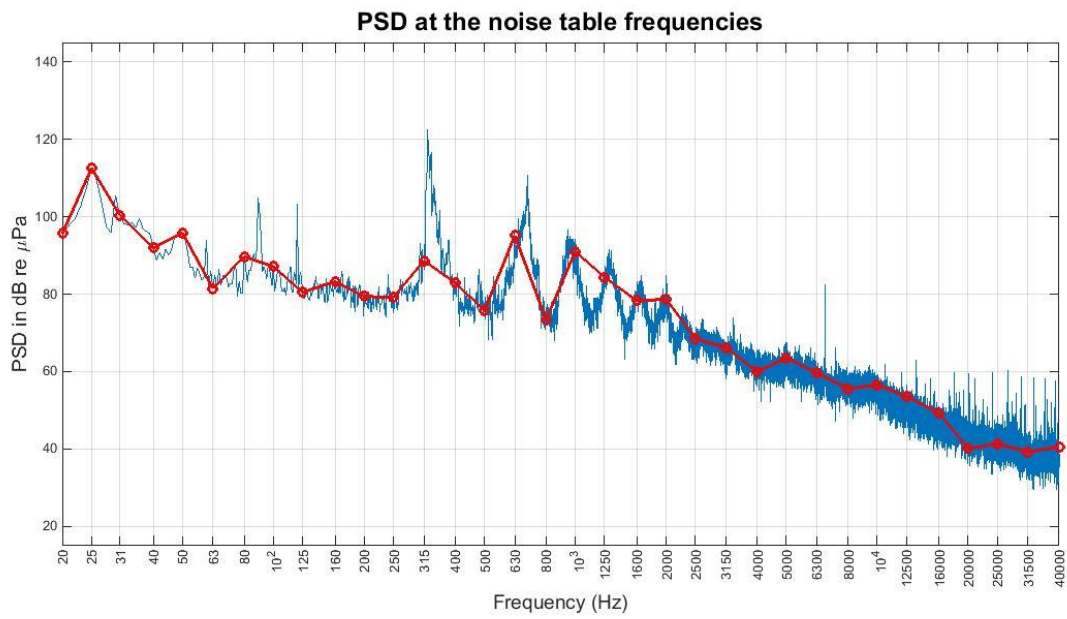


Figura 60. Spettro in terze d'ottava del rumore ambientale misurato presso la stazione S100 a 55 m di profondità, campagna P20.

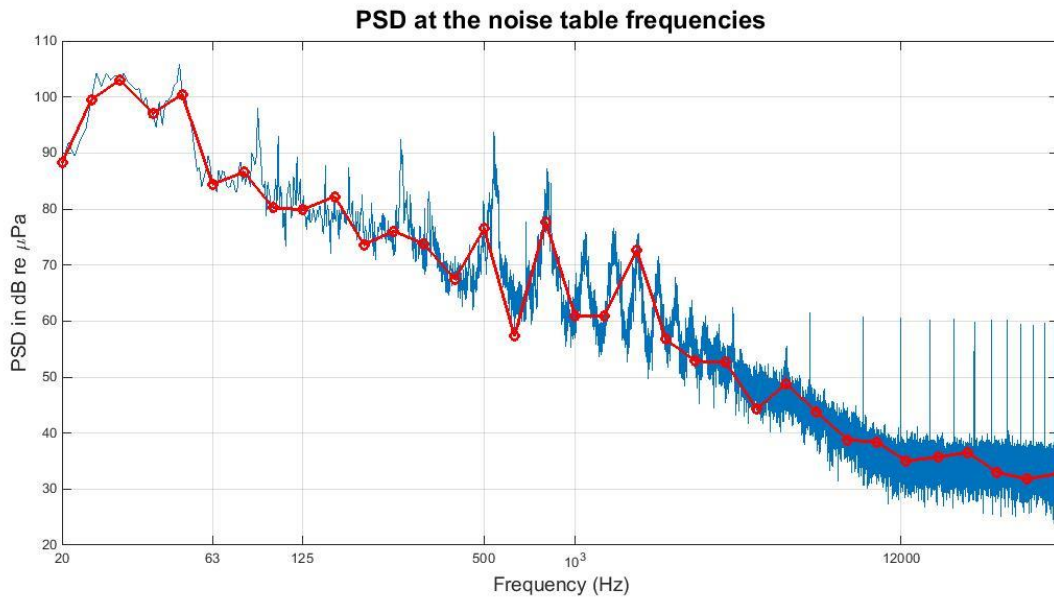


Figura 61. Spettro in terze d'ottava del rumore ambientale misurato presso la stazione S1k a 8 m di profondità, campagna P20.

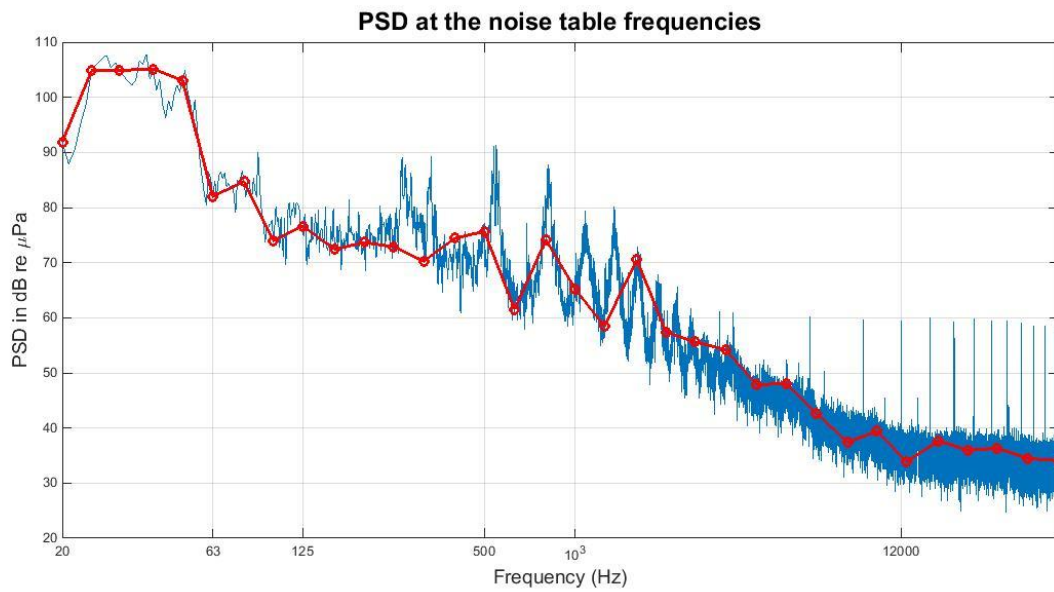


Figura 62. Spettro in terze d'ottava del rumore ambientale misurato presso la stazione S1k a 55 m di profondità, campagna P20.

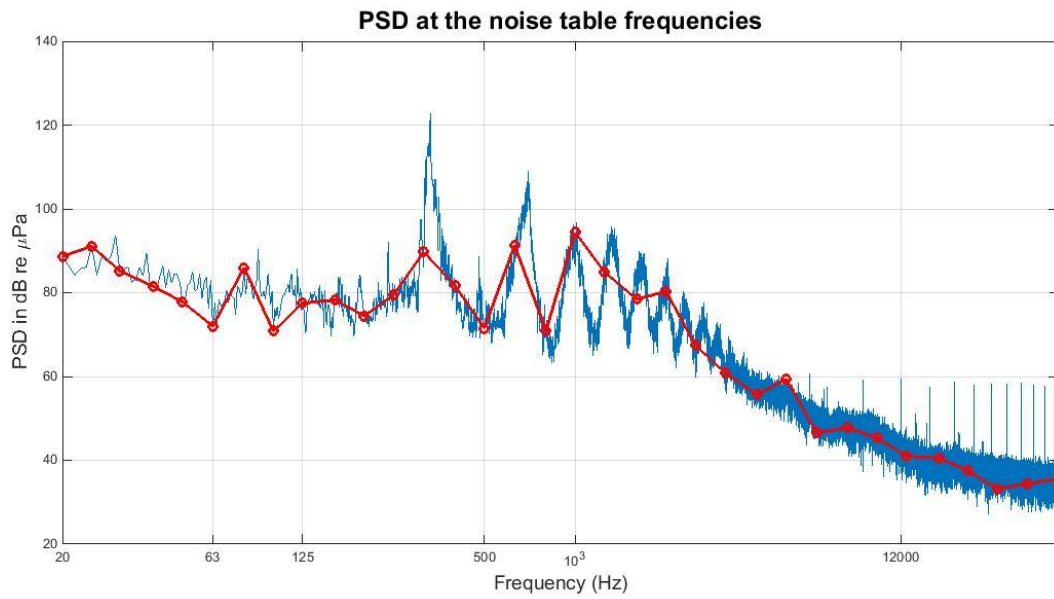


Figura 63. Spettro in terze d'ottava del rumore ambientale misurato presso la stazione W100 a 8 m di profondità, campagna P20.

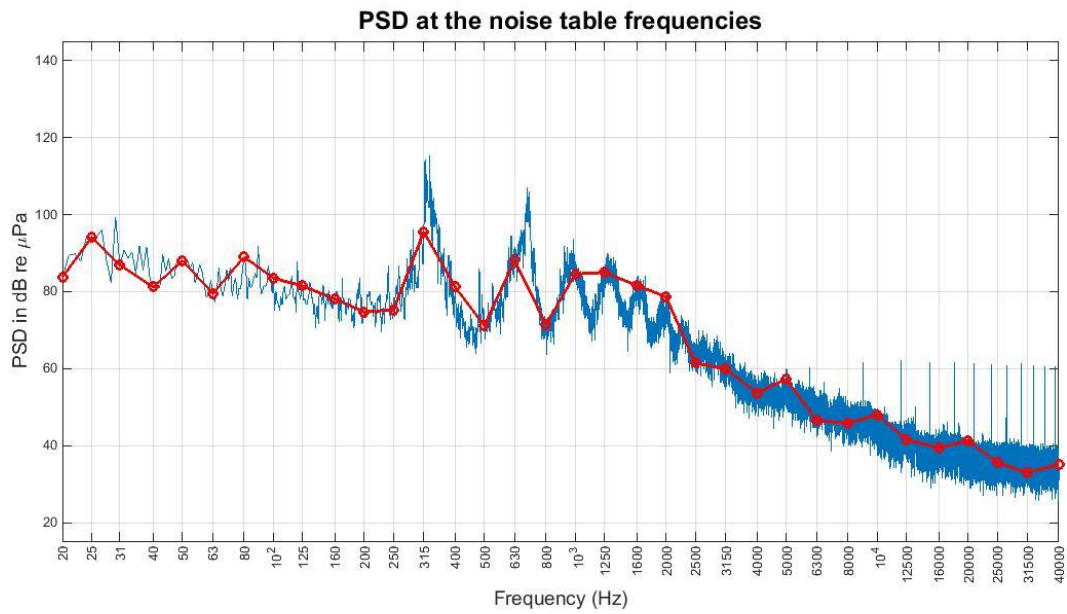


Figura 64. Spettro in terze d'ottava del rumore ambientale misurato presso la stazione W100 a 55 m di profondità, campagna P20.

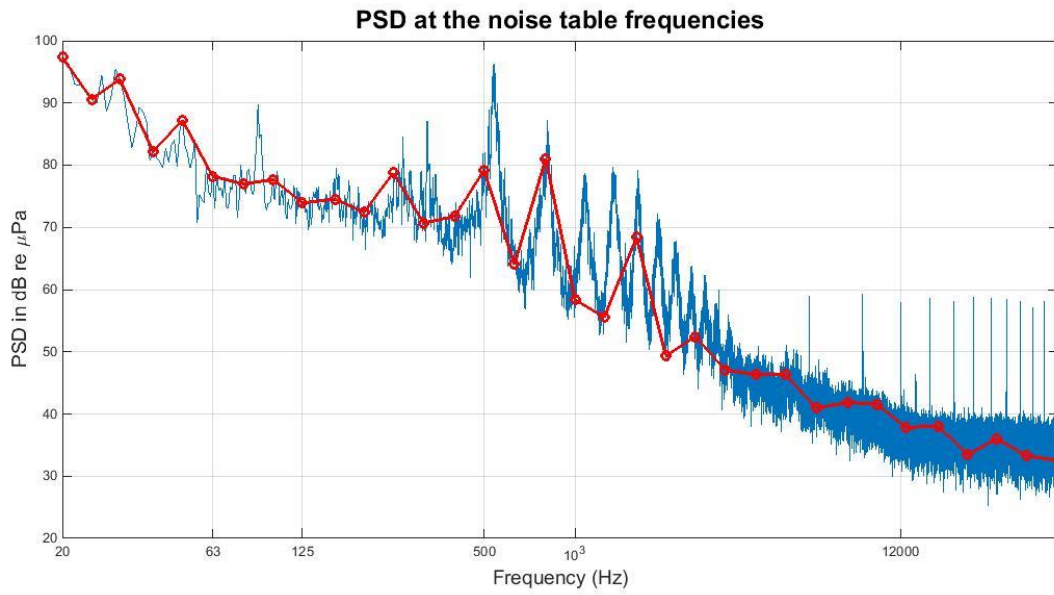


Figura 65. Spettro in terze d'ottava del rumore ambientale misurato presso la stazione W1k a 8 m di profondità, campagna P20.

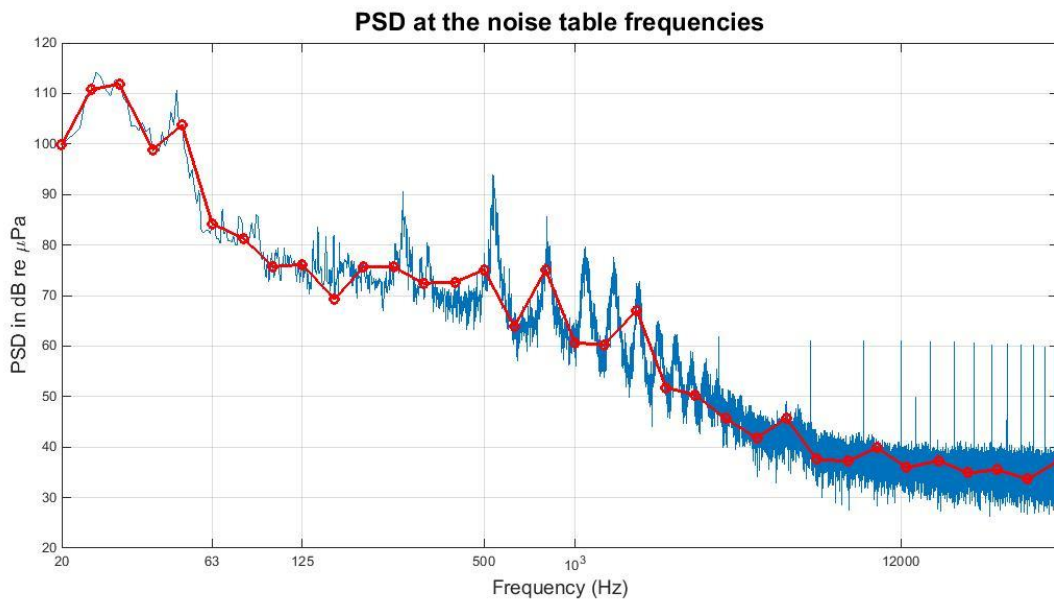


Figura 66. Spettro in terze d'ottava del rumore ambientale misurato presso la stazione W1k a 55 m di profondità, campagna P20.

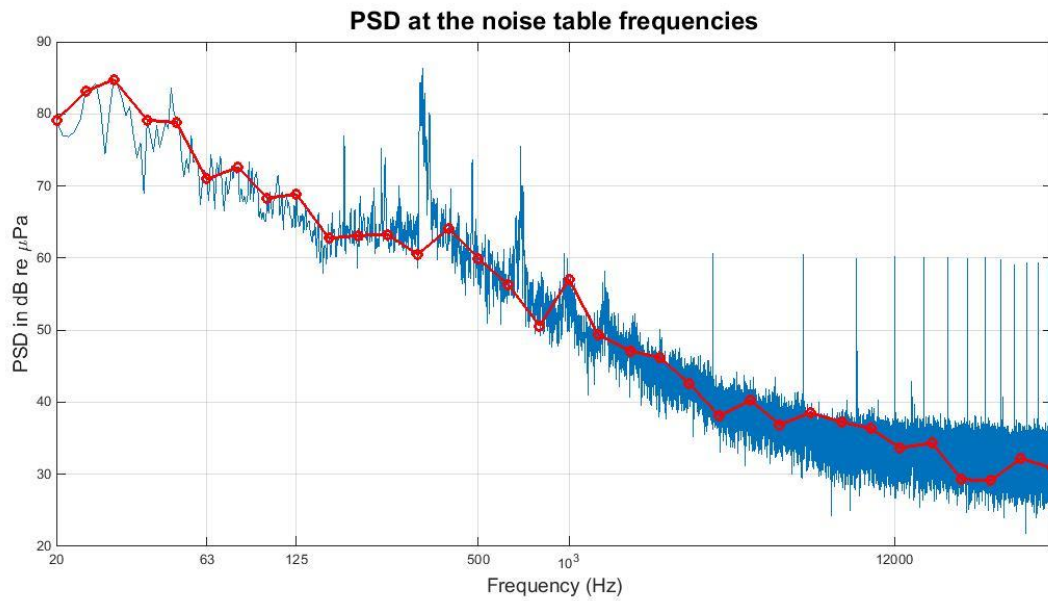


Figura 67. Spettro in terze d'ottava del rumore ambientale misurato presso la stazione W10k a 8 m di profondità, campagna P20.

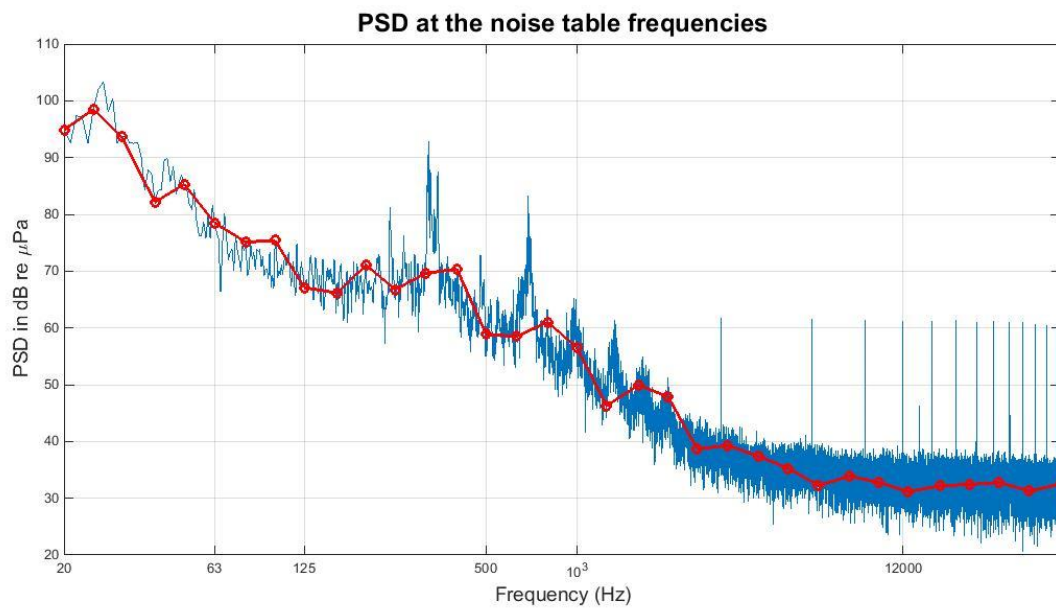


Figura 68. Spettro in terze d'ottava del rumore ambientale misurato presso la stazione W10k a 20 m di profondità, campagna P20.

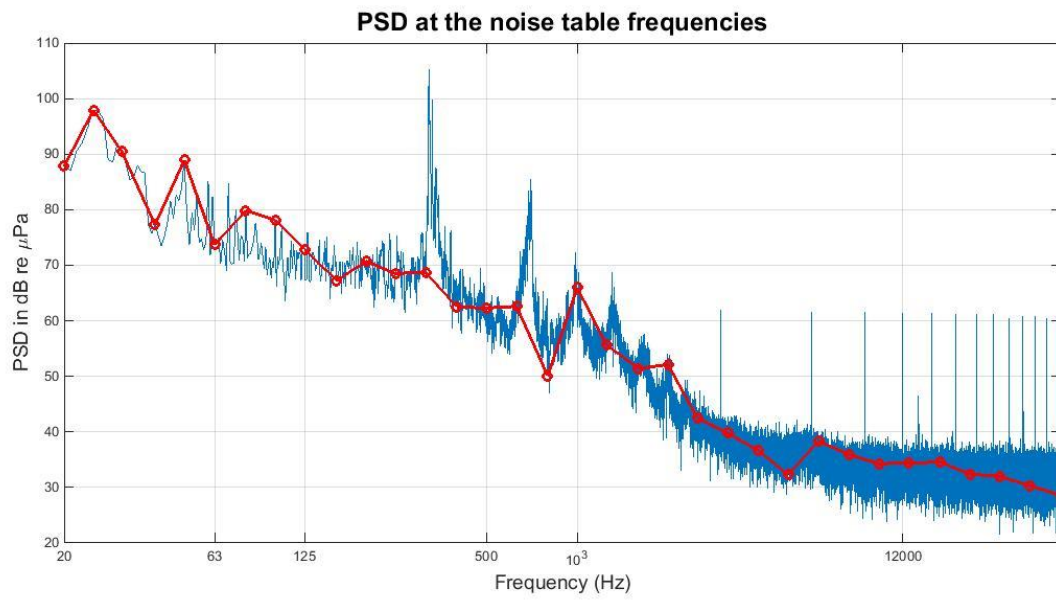


Figura 69. Spettro in terze d'ottava del rumore ambientale misurato presso la stazione W10k a 55 m di profondità, campagna P20.

Risultati PSD in terze d'ottava Campagna – E20

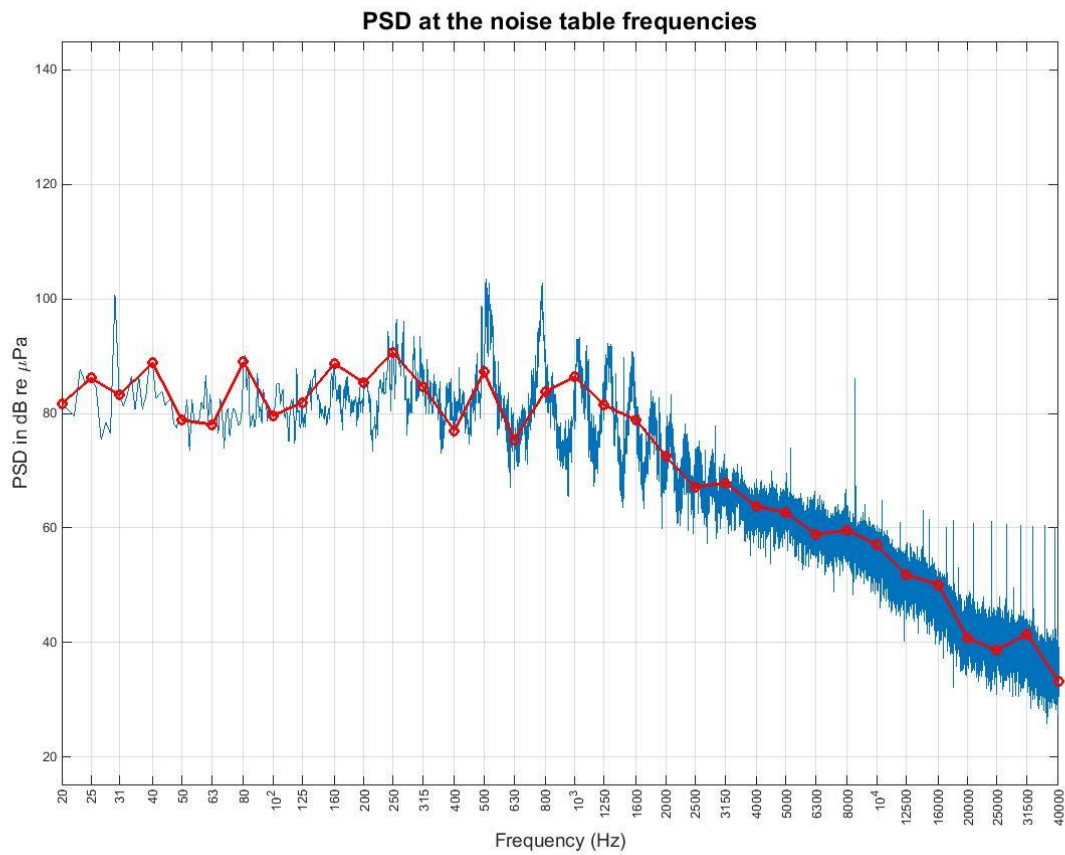


Figura 70. Spettro in terze d'ottava del rumore ambientale misurato presso la stazione E100 a 8 m di profondità, campagna E20.

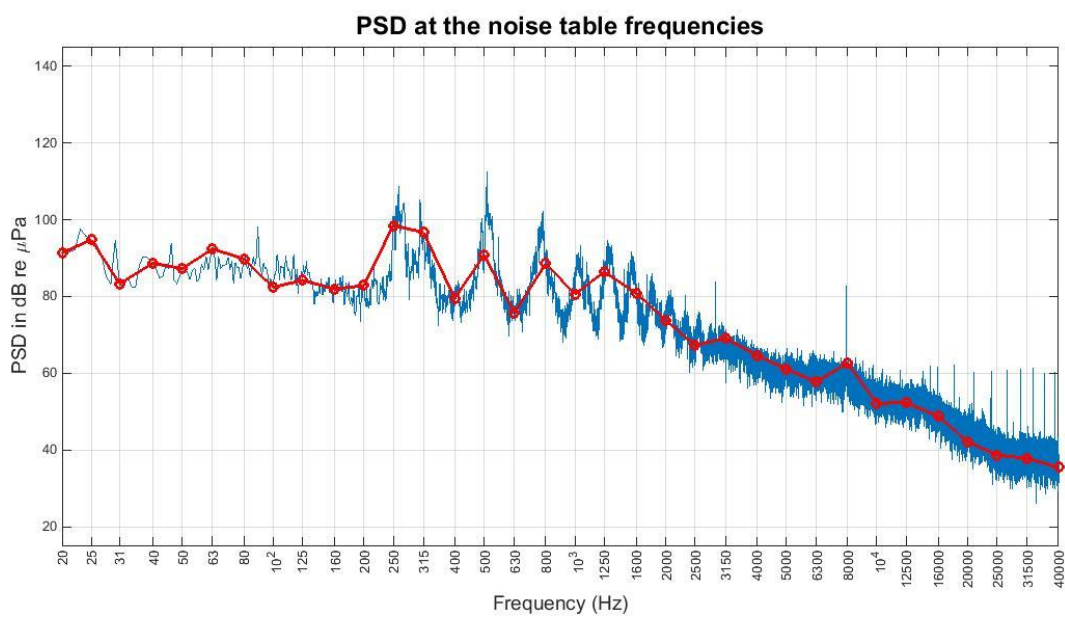


Figura 71. Spettro in terze d'ottava del rumore ambientale misurato presso la stazione E100 a 55 m di profondità, campagna E20.

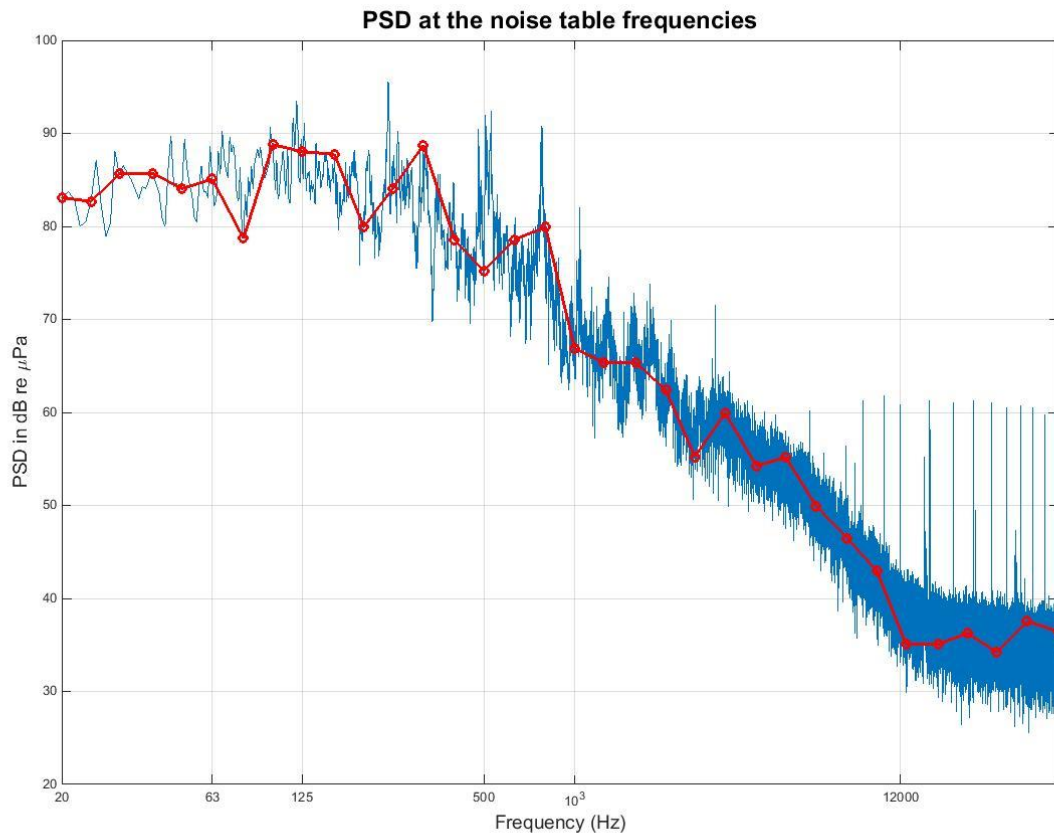


Figura 72. Spettro in terze d'ottava del rumore ambientale misurato presso la stazione E1k a 8 m di profondità, campagna E20.

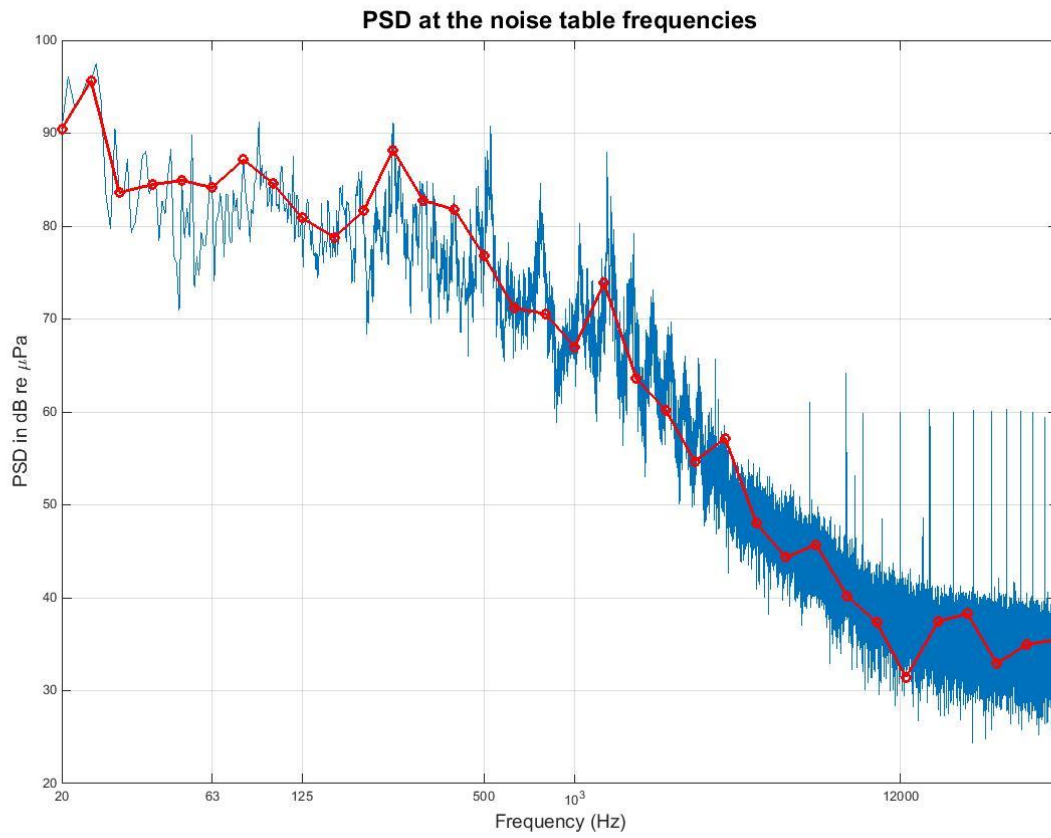


Figura 73. Spettro in terze d'ottava del rumore ambientale misurato presso la stazione E1k a 55 m di profondità, campagna E20.

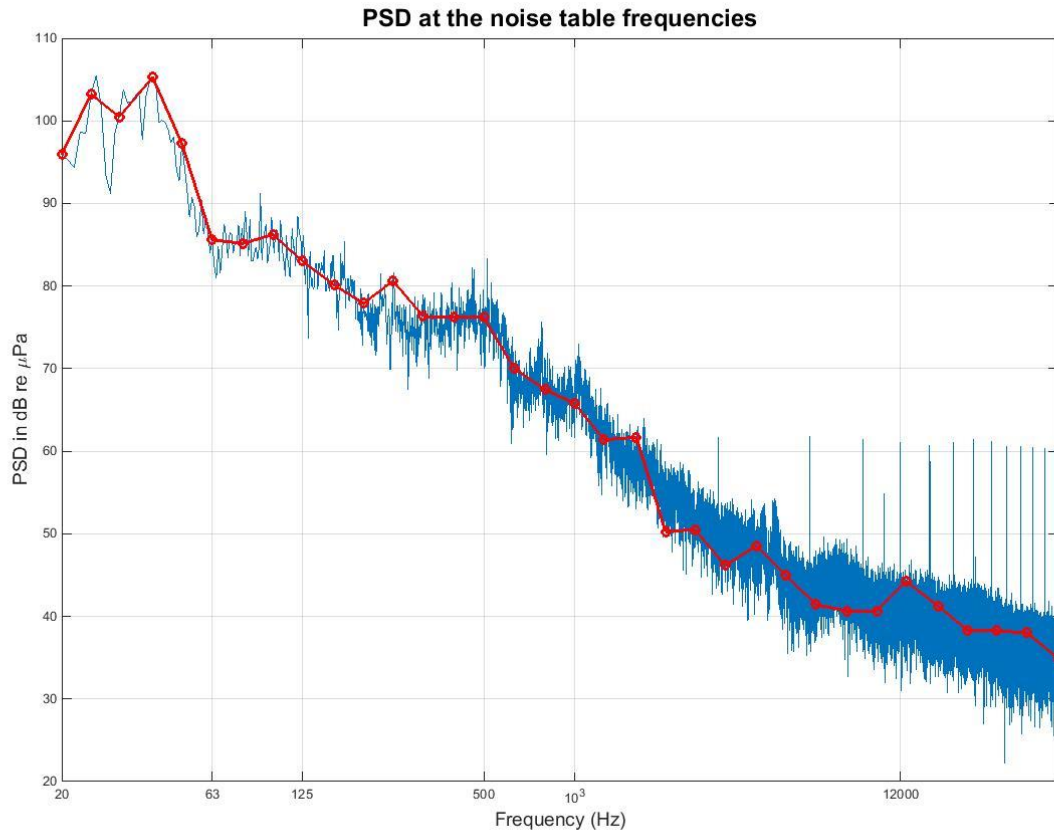


Figura 74. Spettro in terze d'ottava del rumore ambientale misurato presso la stazione E10k a 8 m di profondità, campagna E20.

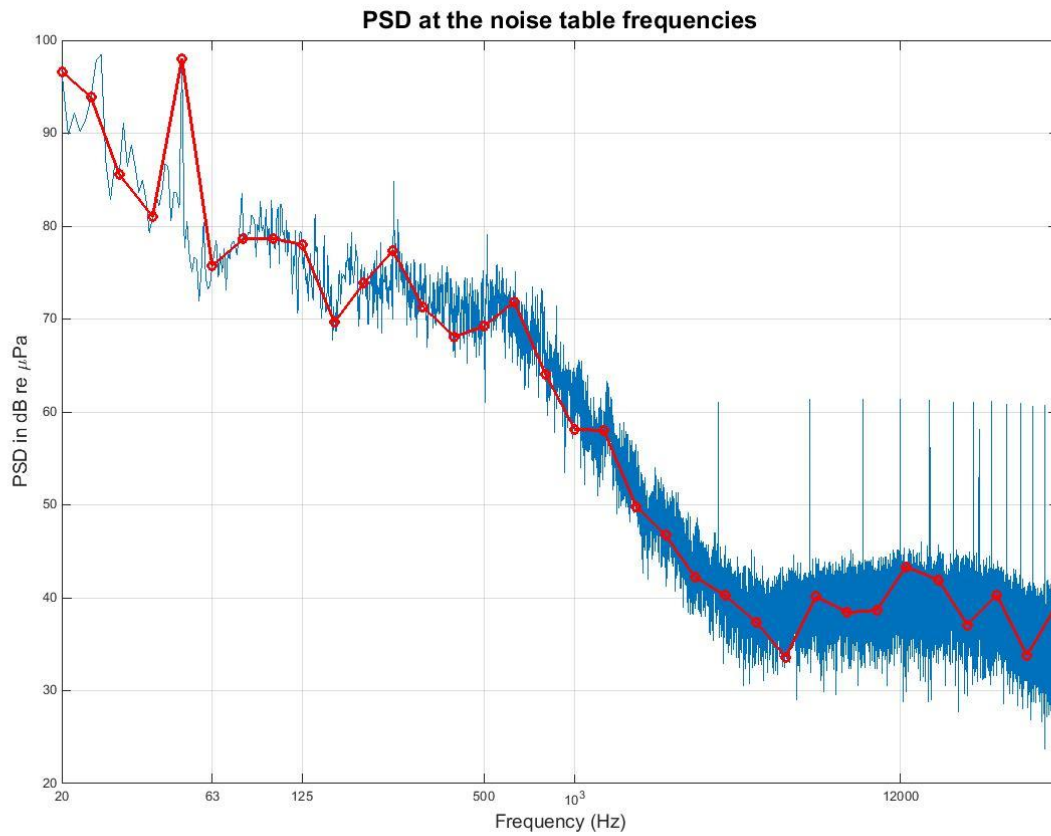


Figura 75. Spettro in terze d'ottava del rumore ambientale misurato presso la stazione E10k a 55 m di profondità, campagna E20.

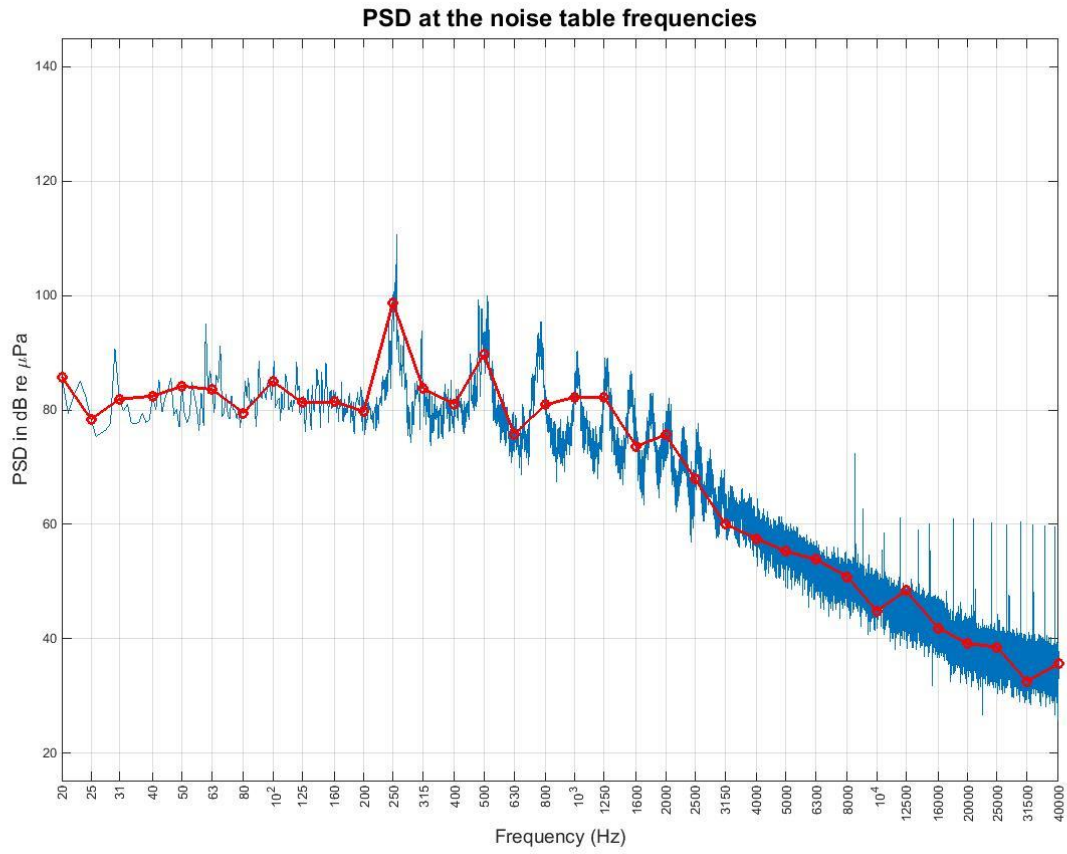


Figura 76. Spettro in terze d'ottava del rumore ambientale misurato presso la stazione N100 a 8 m di profondità, campagna E20.

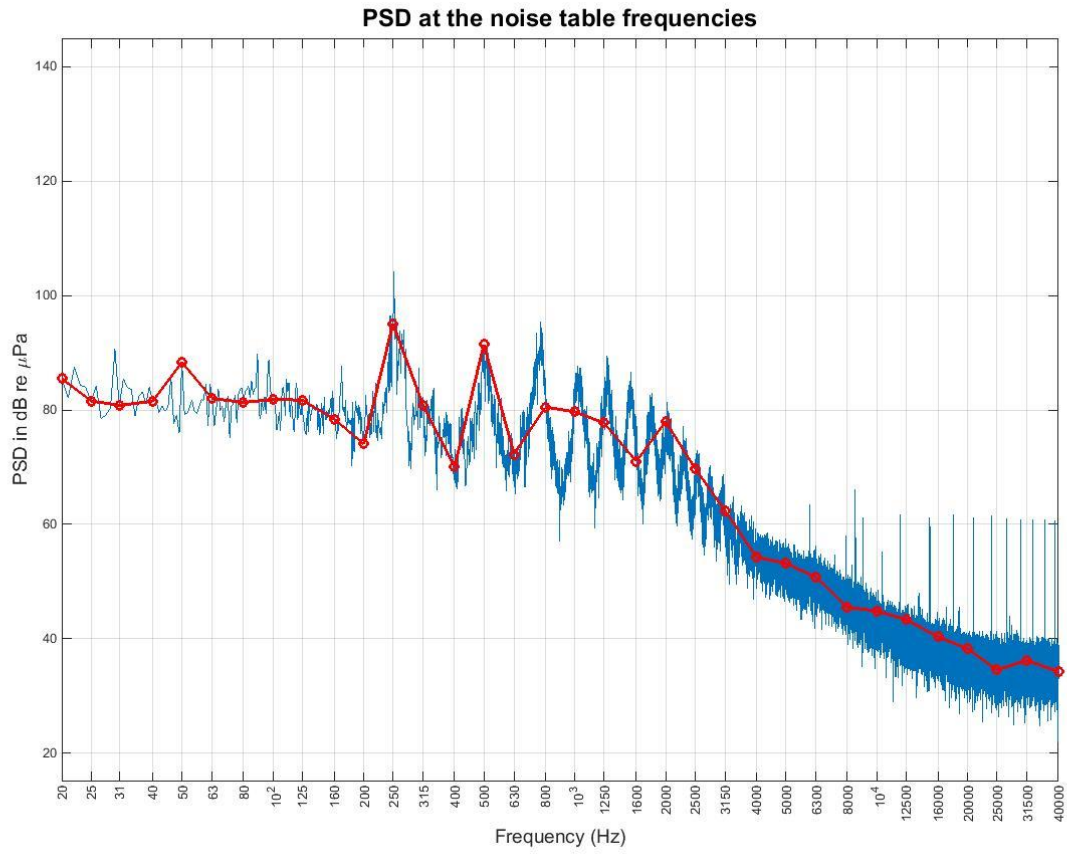


Figura 77. Spettro in terze d'ottava del rumore ambientale misurato presso la stazione N100 a 55 m di profondità, campagna E20.

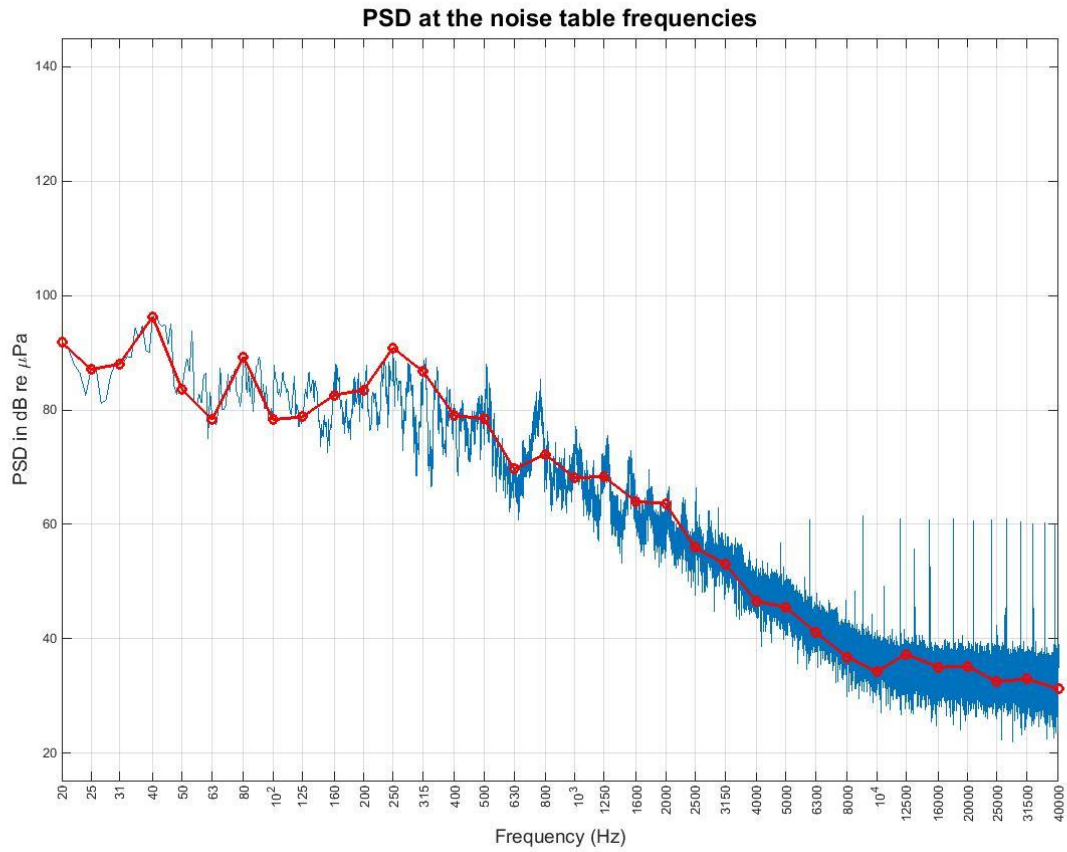


Figura 78. Spettro in terze d'ottava del rumore ambientale misurato presso la stazione N1k a 8 m di profondità, campagna E20.

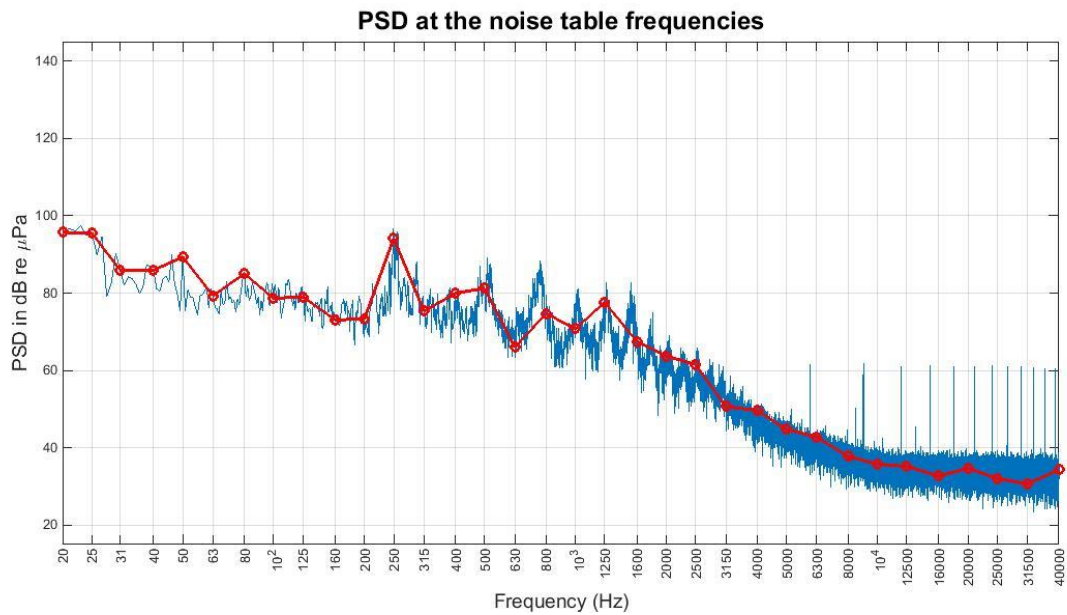


Figura 79. Spettro in terze d'ottava del rumore ambientale misurato presso la stazione N1k a 55 m di profondità, campagna E20.

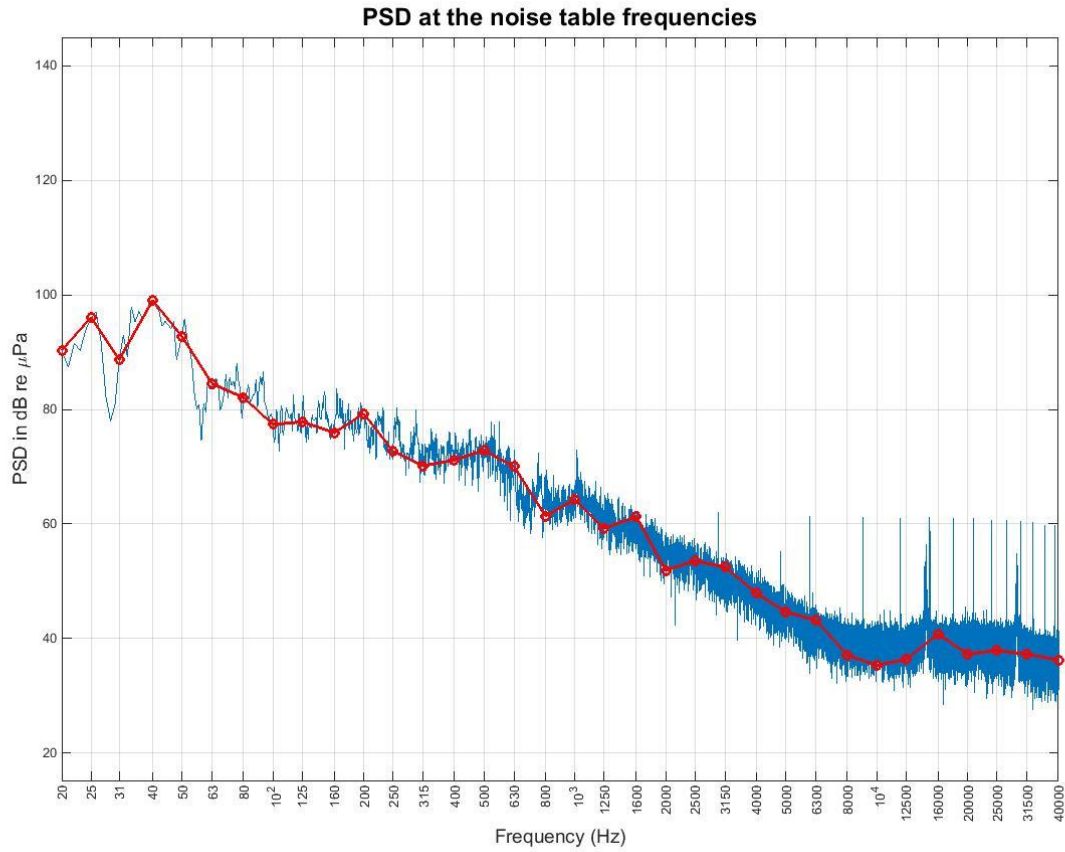


Figura 80. Spettro in terze d'ottava del rumore ambientale misurato presso la stazione N10k a 8 m di profondità, campagna E20.

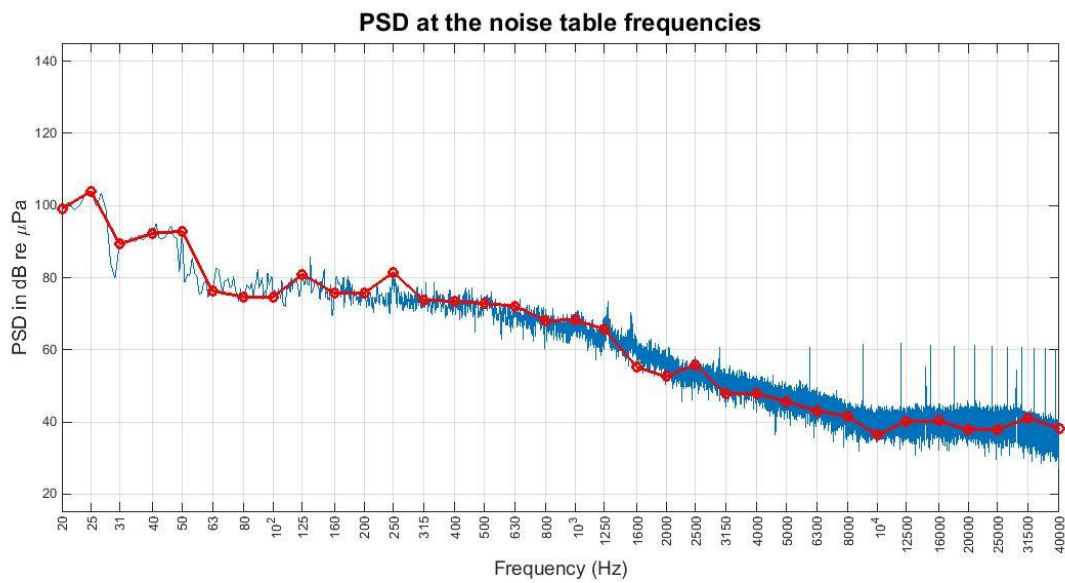


Figura 81. Spettro in terze d'ottava del rumore ambientale misurato presso la stazione N10k a 55 m di profondità, campagna E20.

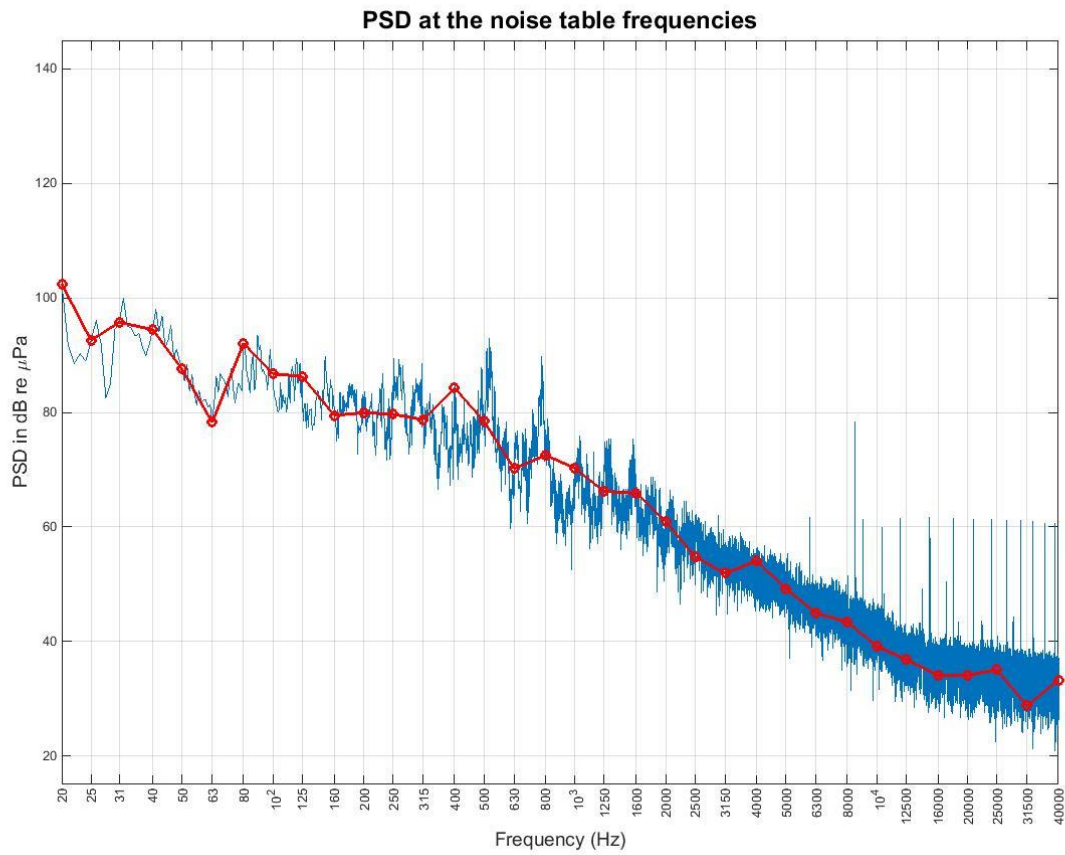


Figura 82. Spettro in terze d'ottava del rumore ambientale misurato presso la stazione S1k a 8 m di profondità, campagna E20.

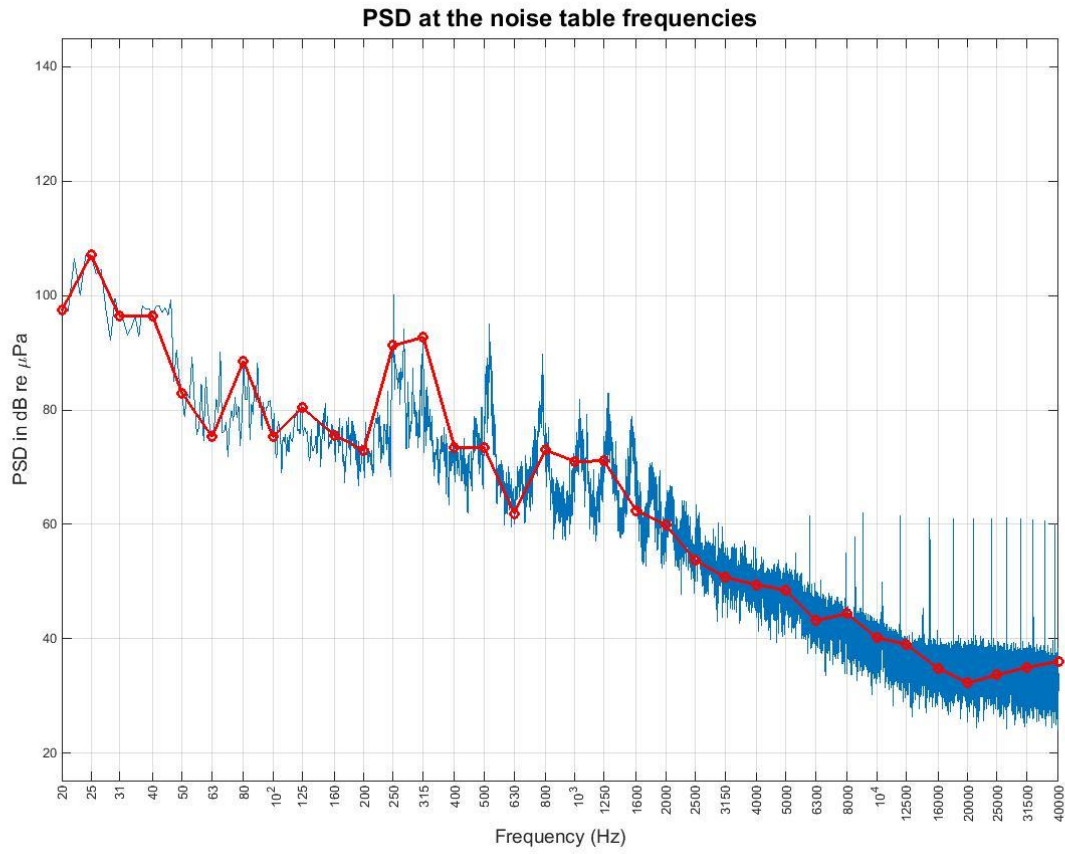


Figura 83. Spettro in terze d'ottava del rumore ambientale misurato presso la stazione S1k a 55 m di profondità, campagna E20.

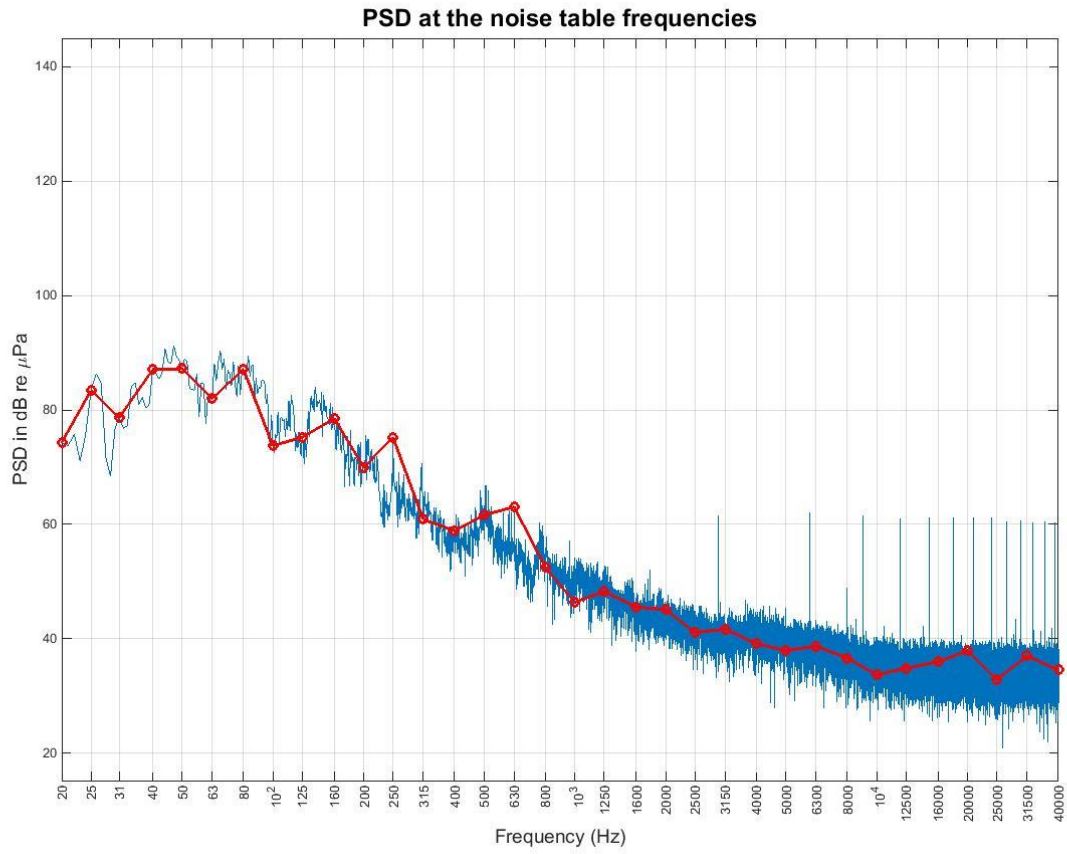


Figura 84. Spettro in terze d'ottava del rumore ambientale misurato presso la stazione S10k a 8 m di profondità, campagna E20.

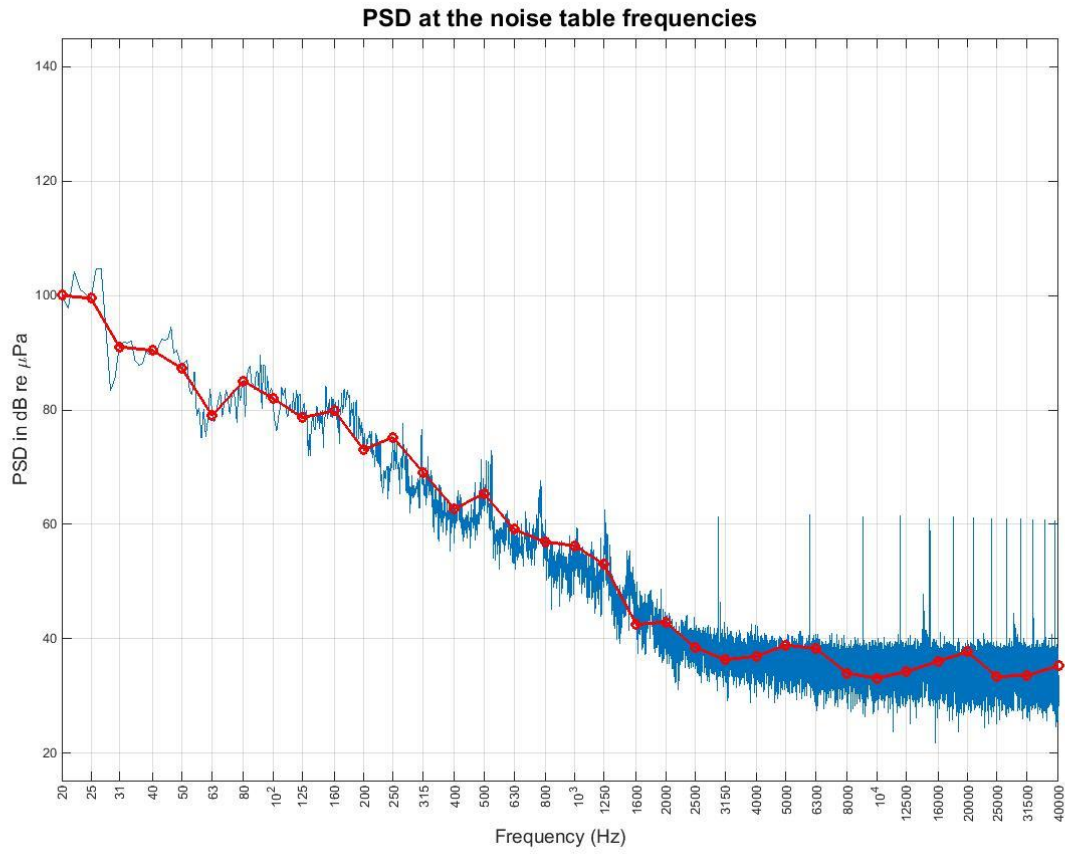


Figura 85. Spettro in terze d'ottava del rumore ambientale misurato presso la stazione S10k a 55 m di profondità, campagna E20.

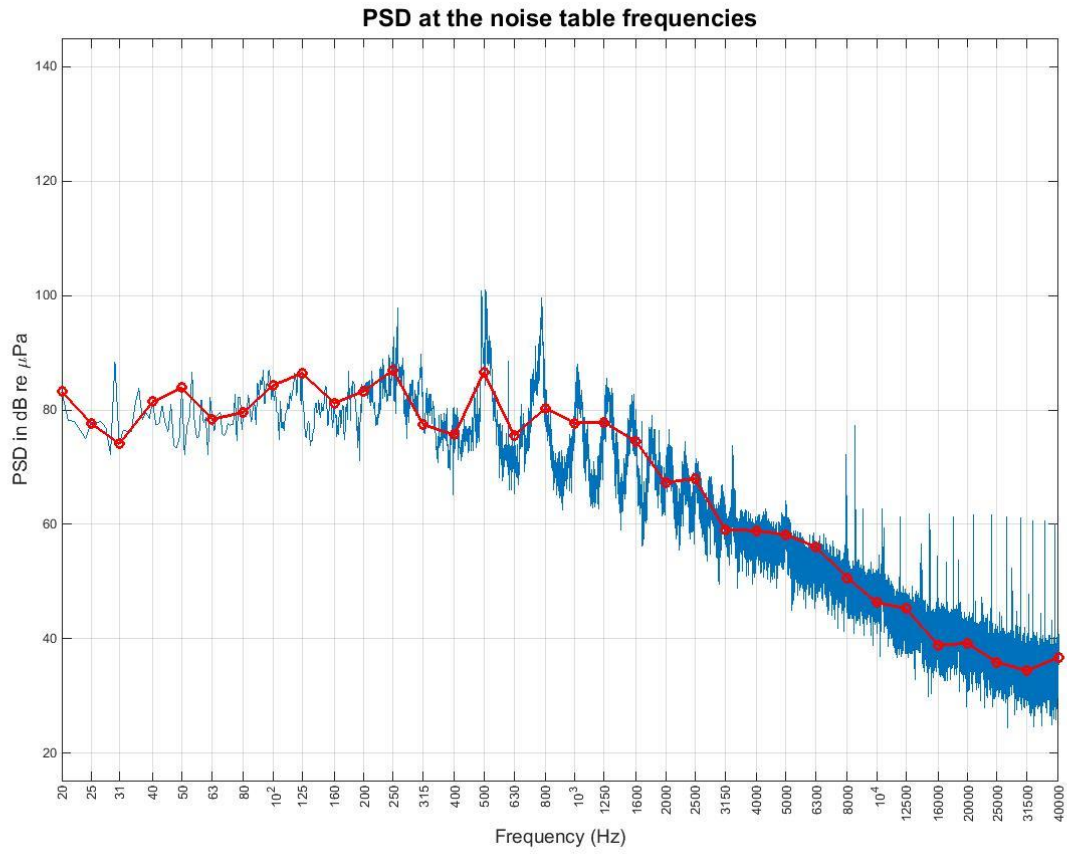


Figura 86. Spettro in terze d'ottava del rumore ambientale misurato presso la stazione W100 a 8 m di profondità, campagna E20.

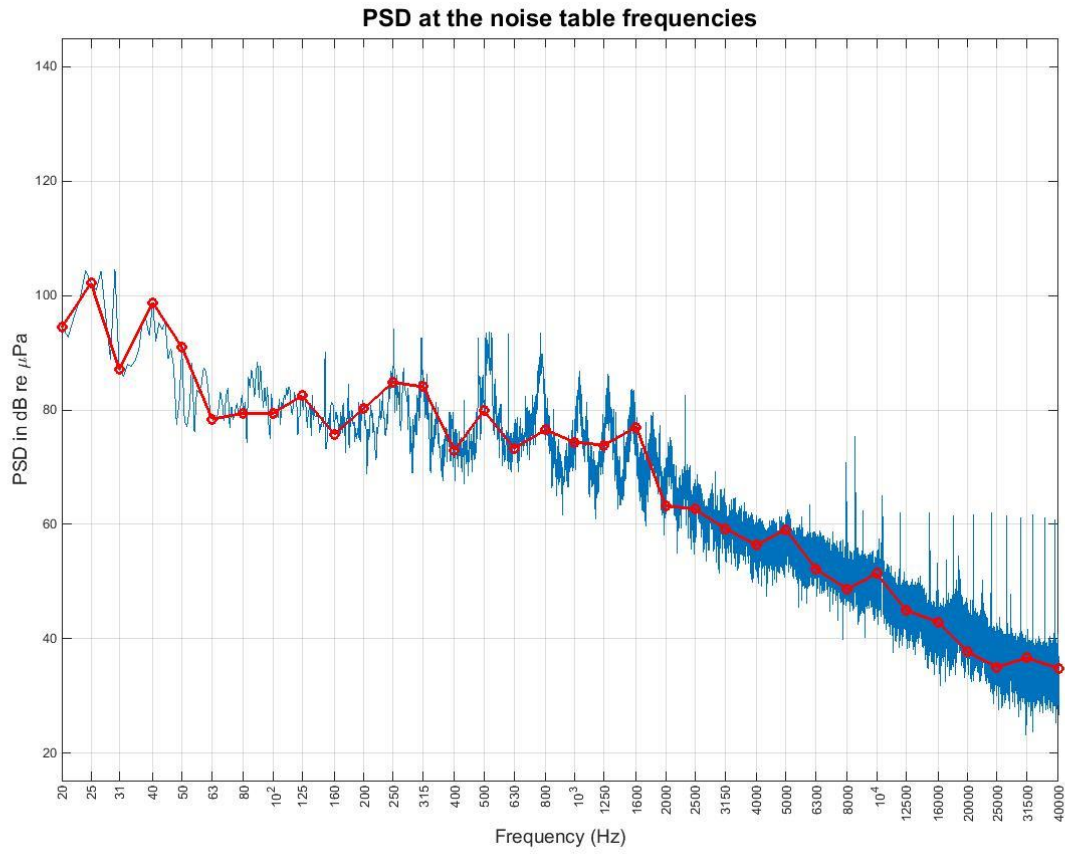


Figura 87. Spettro in terze d'ottava del rumore ambientale misurato presso la stazione W100 a 55 m di profondità, campagna E20.

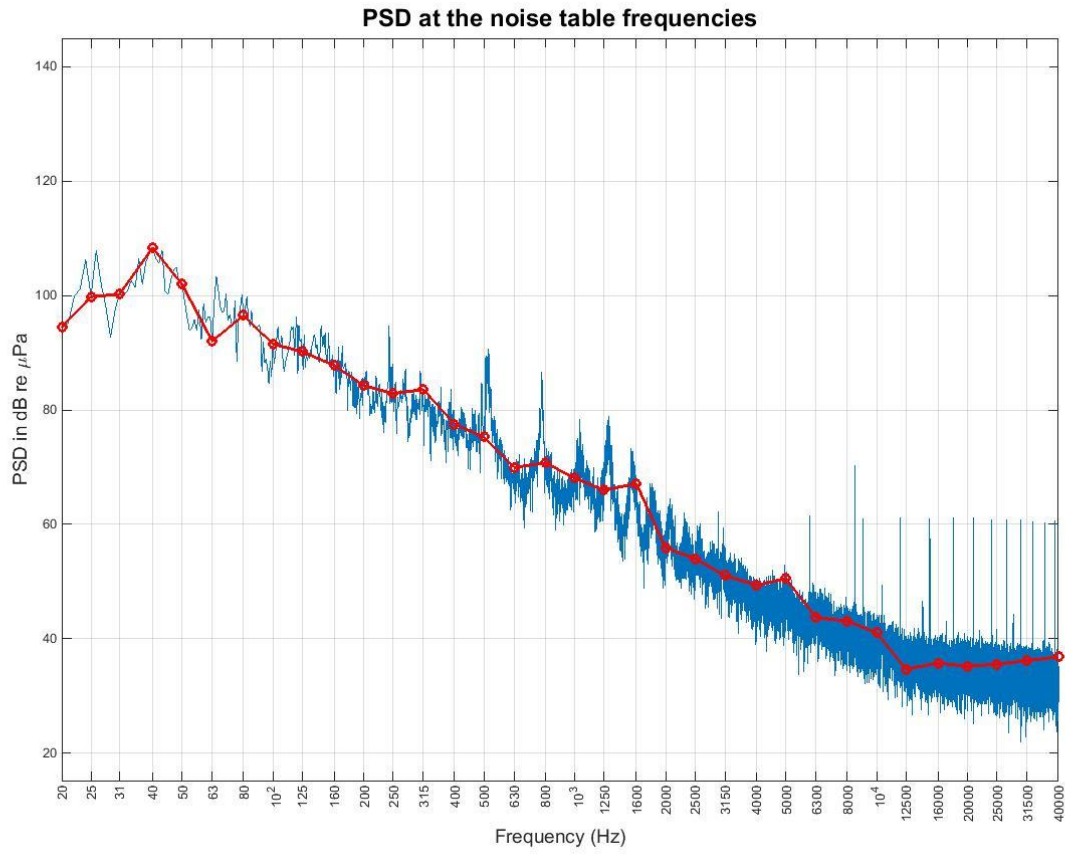


Figura 88. Spettro in terze d'ottava del rumore ambientale misurato presso la stazione W1k a 8 m di profondità, campagna E20.

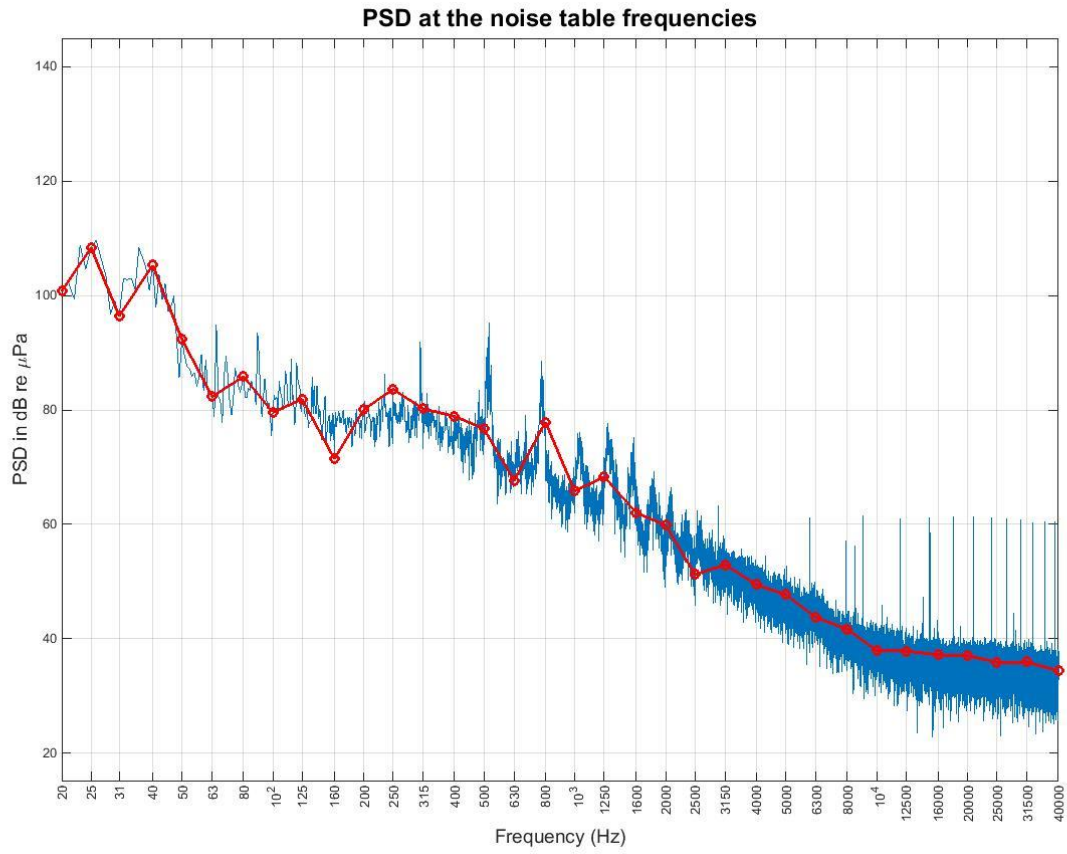


Figura 89. Spettro in terze d'ottava del rumore ambientale misurato presso la stazione W1k a 55 m di profondità, campagna E20.

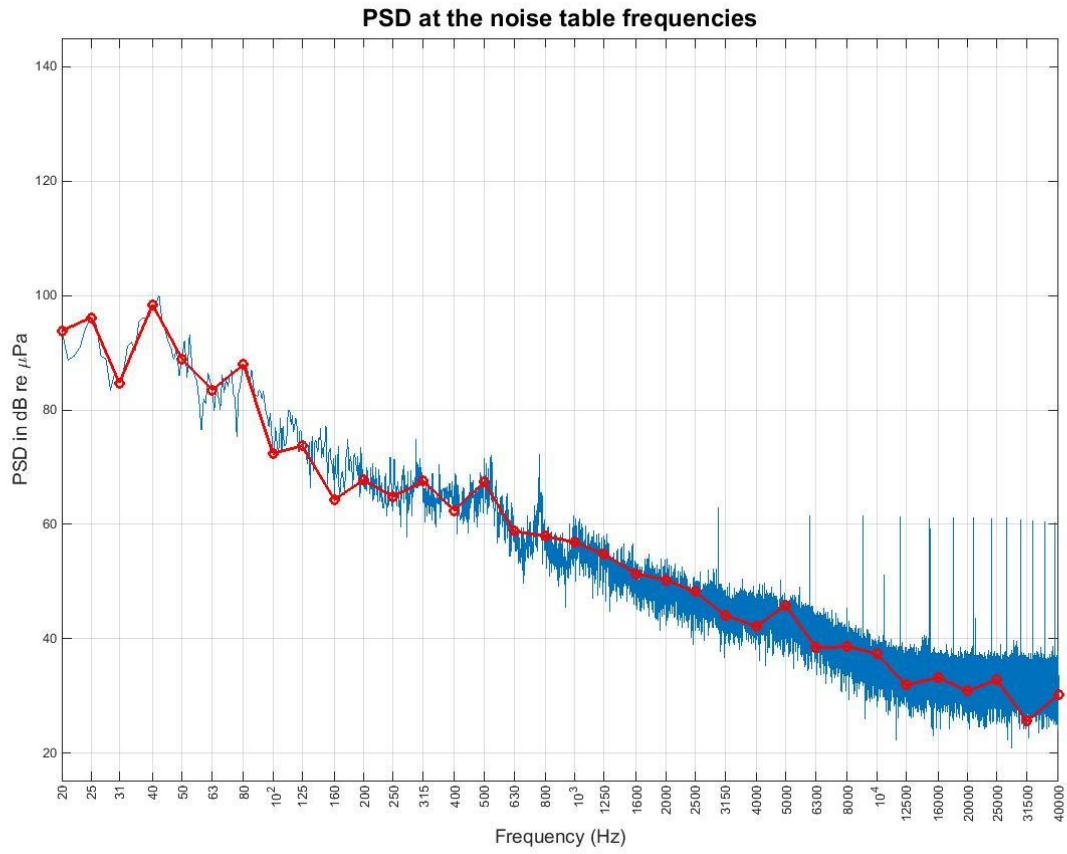


Figura 90. Spettro in terze d'ottava del rumore ambientale misurato presso la stazione W10k a 8 m di profondità, campagna E20.

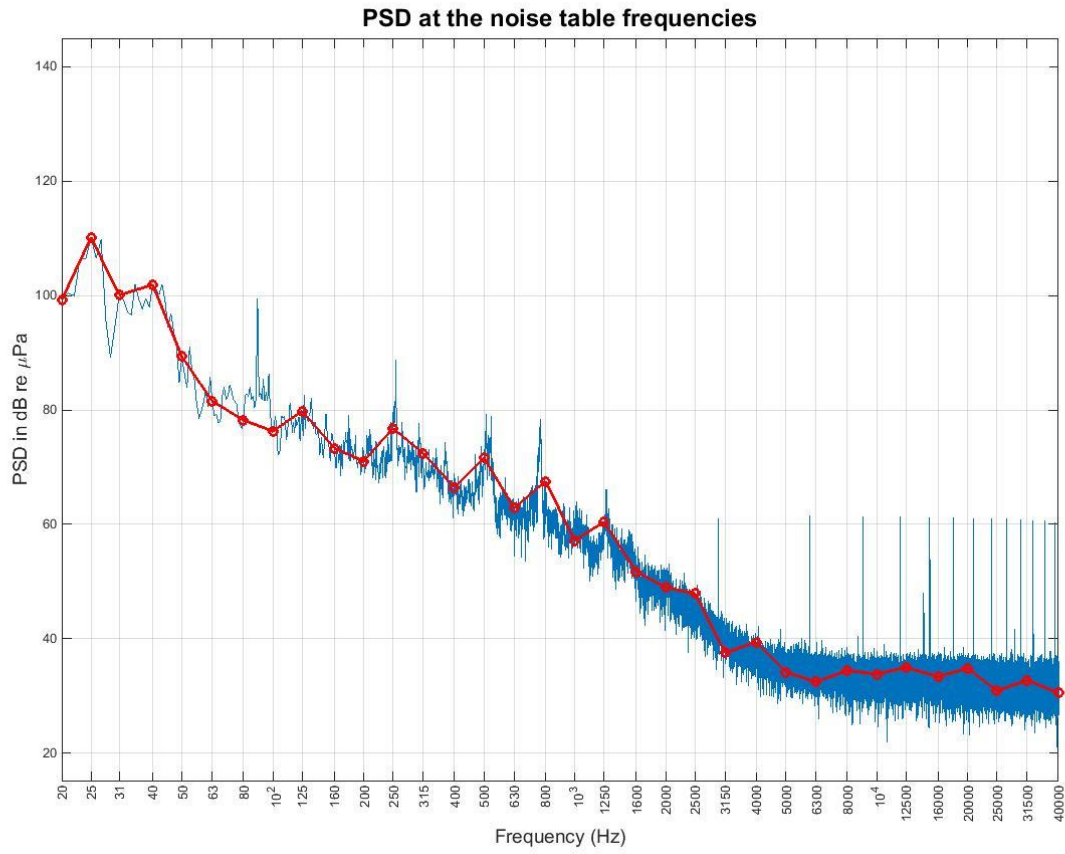


Figura 91. Spettro in terze d'ottava del rumore ambientale misurato presso la stazione W10k a 55 m di profondità, campagna E20.